

La radiolyse: un beau potentiel

Guillaume BLAIN, ingénieur CNRS

Laboratoire Subatech - Cyclotron ARRONAX - Nantes guillaume.blain@subatech.in2p3.fr





UNE THÉMATIQUE, DES FEMMES ET DES HOMMES

MON PARCOURS:

- DUT Mesures Physiques
- Entrée au CNRS en 1998
- 4 ans en physique des surfaces
- 6 ans en analyse chimique
- 15 ans en chimie sous rayonnement

Une indispensable équipe



UNE THÉMATIQUE, DEUX LABORATOIRES





- Recherche fondamentale et appliquée
- Physique des particules
- Cosmologie
- Radiochimie
- Energie, santé et environnement
- Technologies associées





- Production de radionucléides innovants
- Recherche appliquée
- Plateforme d'irradiation
- Santé, chimie, physique, détecteurs
- Spatial, histoire de l'art

RADIOCHIMIE: KEZAKO

RADIO-CHIMIE

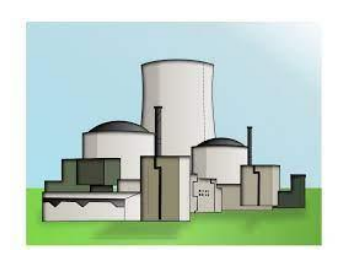


Et ça a été cela









Mais c'est aussi ceci:









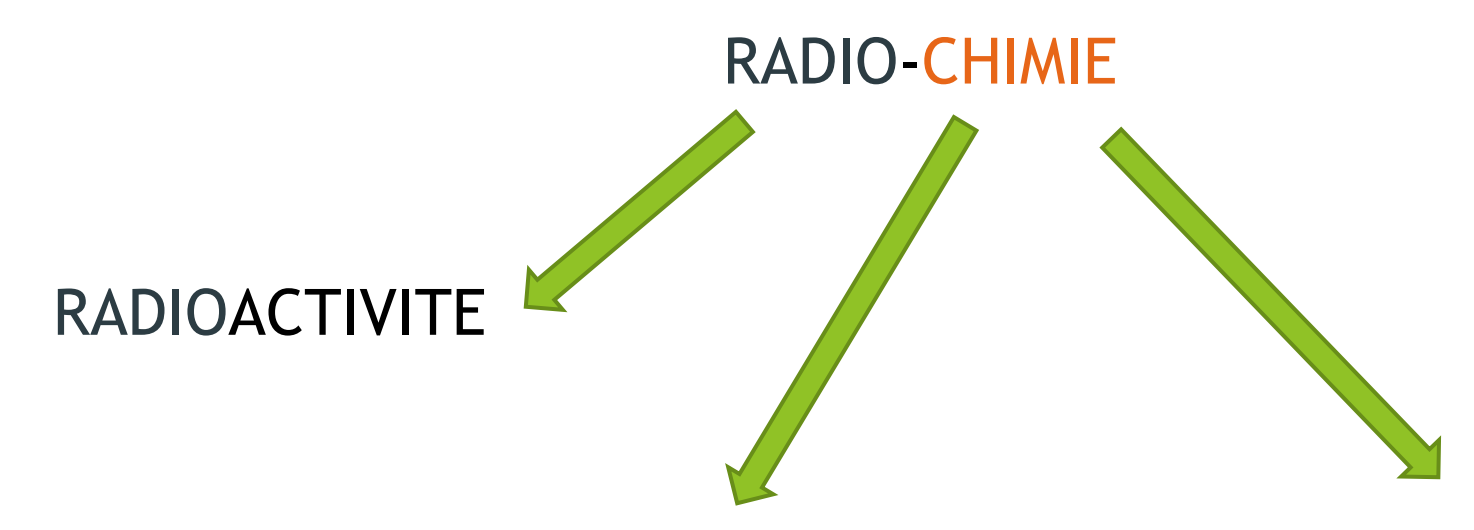
RADIOACTIVITE



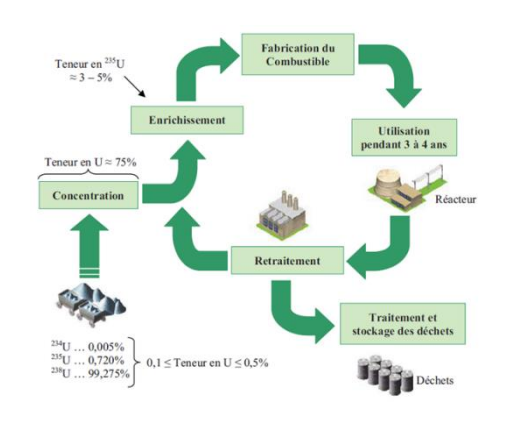




RADIOCHIMIE: KEZAKO



CHIMIE des radionucléides



U, Pu, Th, Cs, I, Tc, ... At, Ac, ...

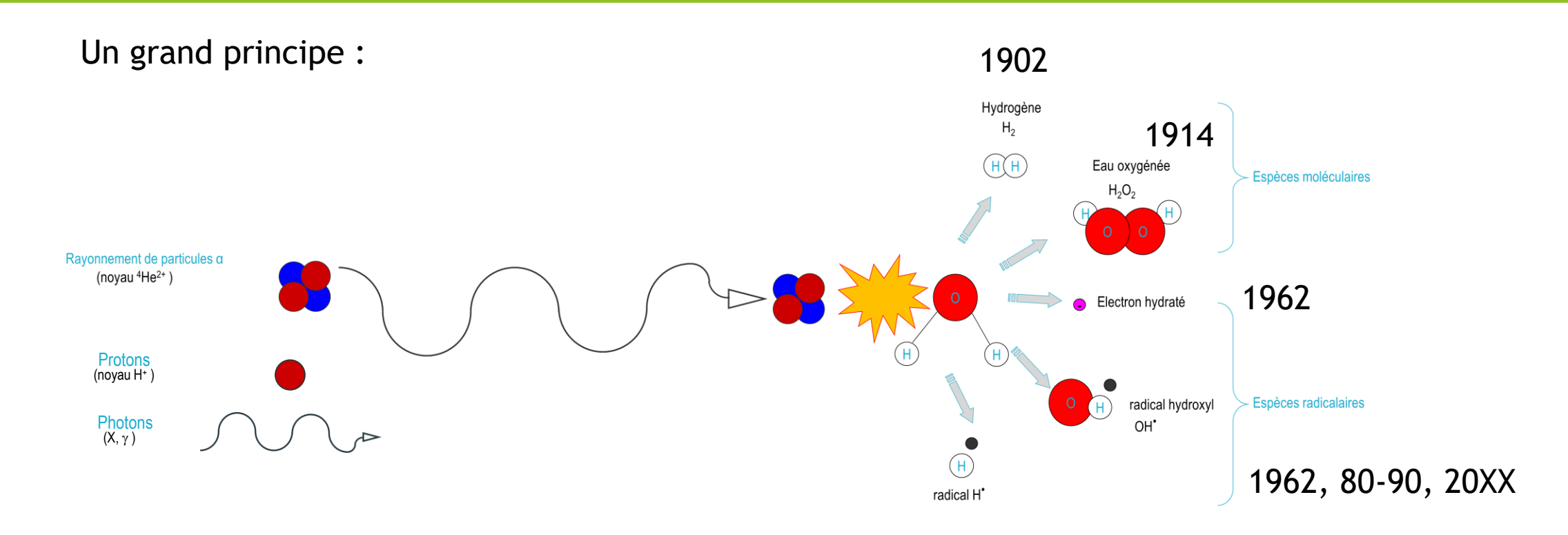
Propriétés Red-Ox Structure cristalline Diffusion Solubilité / Précipitation Séparation

CHIMIE sous rayonnement = RADIOLYSE

Ensemble des transformations physicochimiques induites par l'interaction d'un rayonnement avec la matière :

- Création/cassure de liaison
- Oxydation / réduction
- Espèces chimiques nouvelles

RADIOLYSE DE L'EAU



Une première contradiction avec les rayons γ :

$$H_2 + OH^{\circ} \rightarrow H^{\circ} + H_2O$$
) n fois
$$H^{\circ} + H_2O_2 \rightarrow OH^{\circ} + H_2O$$

$$\vdots$$

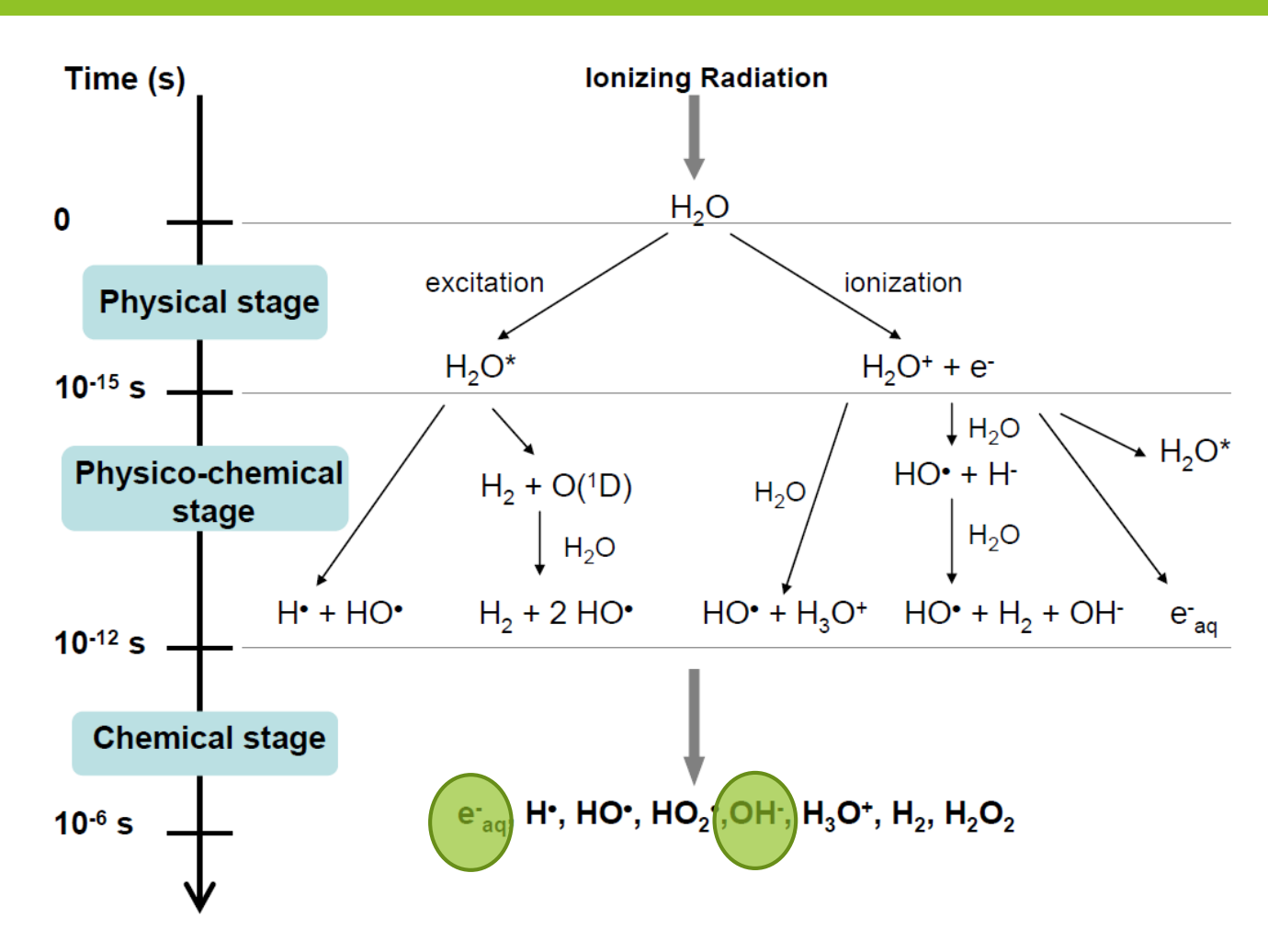
$$H_2 + H_2O_2 \rightarrow 2 H_2O$$

C'est la chaine de Allen

Au final, tout se passe....
... comme si rien ne s'était passé!!

Et pourtant....

MECANISME DE LA RADIOLYSE DE L'EAU

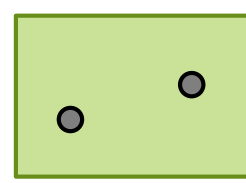


Chimie atypique : inhomogène dans le temps et l'espace

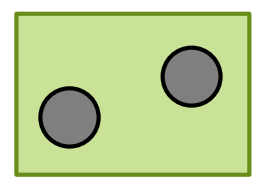
Caër, S. L. (2011). Water radiolysis: Influence of oxide surfaces on H2 production under ionizing radiation. *Water (Switzerland)*. MDPI AG. https://doi.org/10.3390/w3010235

Interaction rayonnement matière





Diffusion, chimie hétérogène



Chimie homogène





 H_2O

UN EQUILIBRE COMPLEXE, GRANDE COMPETITION

Etape homogène (hors grappe) (>10⁻⁷ s)

$$^{\circ}\text{OH} + \text{H}_2 \rightarrow ^{\circ}\text{H} + \text{H}_2\text{O} \text{ (k = 3.4 10}^7 \text{ M}^{-1}.\text{s}^{-1}\text{)}$$

$$^{\circ}\text{OH} + \text{H}_2\text{O}_2 \rightarrow ^{\circ}\text{HO}_2 + \text{H}_2\text{O} \text{ (k = 2.7 10}^7 \text{ M}^{-1}.\text{s}^{-1}\text{)}$$

$$^{\circ}\text{OH} + ^{\circ}\text{HO}_2 \rightarrow \text{O}_2 + \text{H}_2\text{O} \text{ (k = 0.7 10}^{10} \text{ M}^{-1}.\text{s}^{-1}\text{)}$$

$$^{\circ}\text{OH} + ^{\circ}\text{O}_{2}^{-} \rightarrow \text{O}_{2} + \text{OH}^{-} (k = 1 \ 10^{10} \ \text{M}^{-1}.\text{s}^{-1})$$

$$^{\circ}\text{OH} + \text{OH}^{-} \rightarrow ^{\circ}\text{O}^{-} + \text{H}_{2}\text{O} \text{ (k = 1.3 10}^{10} \text{ M}^{-1}.\text{s}^{-1}\text{)}$$

$$^{\circ}\text{OH} + ^{\circ}\text{HO}_{2}^{-} \rightarrow ^{\circ}\text{HO}_{2} + \text{OH}^{-} \text{ (k = 0.75 10}^{10} \text{ M}^{-1}.\text{s}^{-1}\text{)}$$

$$^{\circ}\text{OH} + ^{\circ}\text{O}^{-} \rightarrow \text{HO}_{2}^{-} (k = 1.8 \ 10^{10} \ \text{M}^{-1}.\text{s}^{-1})$$

$$e^{-}_{aq} + H_2O + {}^{\circ}O_2{}^{-} \rightarrow HO_2{}^{-} + OH^{-} (k = 1.3 \ 10^{10} \ M^{-1}.s^{-1})$$

$$e^{-}_{aq} + {}^{\circ}HO_2 \rightarrow HO_2^{-} (k = 2 \ 10^{10} \ M^{-1}.s^{-1})$$

$$e^{-}_{aq} + H_2O_2 \rightarrow {}^{\circ}OH + OH^{-} (k = 1.1 \ 10^{10} \ M^{-1}.s^{-1})$$

$$e^{-}_{aq} + H_2O \rightarrow {}^{\circ}H + OH^{-} (k = 16 M^{-1}.s^{-1})$$

$$e^{-}_{aq} + HO_{2}^{-} \rightarrow {}^{\circ}O^{-} + OH^{-} + H_{2}O (k = 0.35 \ 10^{10} \ M^{-1}.s^{-1})$$

$$^{\circ}H + H_2O_2 \rightarrow ^{\circ}OH + H_2O (k = 4.2 \ 10^7 \ M^{-1}.s^{-1})$$

$$^{\circ}\text{H} + ^{\circ}\text{O}_{2}^{-} \rightarrow \text{HO}_{2}^{-} \text{ (k = 2.10^{10} M^{-1}.s^{-1})}$$

$$^{\circ}\text{H} + ^{\circ}\text{HO}_2 \rightarrow \text{H}_2\text{O}_2 \text{ (k = 0.85 10}^{10} \text{ M}^{-1}.\text{s}^{-1}\text{)}$$

$$^{\circ}H + OH^{-} \rightarrow H_{2}O + e^{-}_{aq} (k = 2.2 \ 10^{7} \ M^{-1}.s^{-1})$$

$$^{\circ}HO_{2} + ^{\circ}HO_{2} \rightarrow H_{2}O_{2} + O_{2} (k = 0.084 \ 10^{7} \ M^{-1}.s^{-1})$$

$$^{\circ}\text{O}_{2}^{-} + ^{\circ}\text{HO}_{2} \rightarrow \text{HO}_{2}^{-} + \text{O}_{2} \text{ (k = 9.6 10}^{7} \text{ M}^{-1}.\text{s}^{-1})$$

$$^{\circ}O_{2}^{-}$$
 + $H_{3}O^{+}$ \rightarrow $H_{2}O$ + $^{\circ}HO_{2}$ (k = 5 10^{10} $M^{-1}.s^{-1}$)

$$HO_2^- + H_3O^+ \rightarrow H_2O + H_2O_2 \ (k = 2 \ 10^{10} \ M^{-1}.s^{-1})$$

$$H_3O^+ + 2 \circ O_2^- \rightarrow O_2 + H_2O + HO_2^- (k = 0.18 \cdot 10^{10} \text{ M}^{-1}.\text{s}^{-1})$$

$$H_2O + {}^{\circ}HO_2 \rightarrow {}^{\circ}O_2^- + H_3O^+ (k = 0.08 \ 10^7 \ M^{-1}.s^{-1})$$

$$H_2O + H_2O_2 \rightarrow HO_2^- + H_3O^+ (k = 3.6 \ 10^{-2} \ M^{-1}.s^{-1})$$

$$2 H_2O \rightarrow H_3O^+ + OH^- (k = 2.6 \ 10^{-5} \ M^{-1}.s^{-1})$$

$$2 \,{}^{\circ}\text{O} \rightarrow \text{O}_2 \, (\text{k} = 0.1 \, 10^{10} \, \text{M}^{-1}.\text{s}^{-1})$$

$$^{\circ}\text{O}^{-} + \text{H}_{2}\text{O} \rightarrow ^{\circ}\text{OH} + \text{OH}^{-} (k = 0.18 \ 10^{7} \ \text{M}^{-1}.\text{s}^{-1})$$

<u>Dépendant de la DOSE :</u>

quantité d'énergie déposée dans 1Kg de matière en Gray(Gy) : 1Gy = 1J/Kg

• Quantités produites : nb mol / Energie déposée

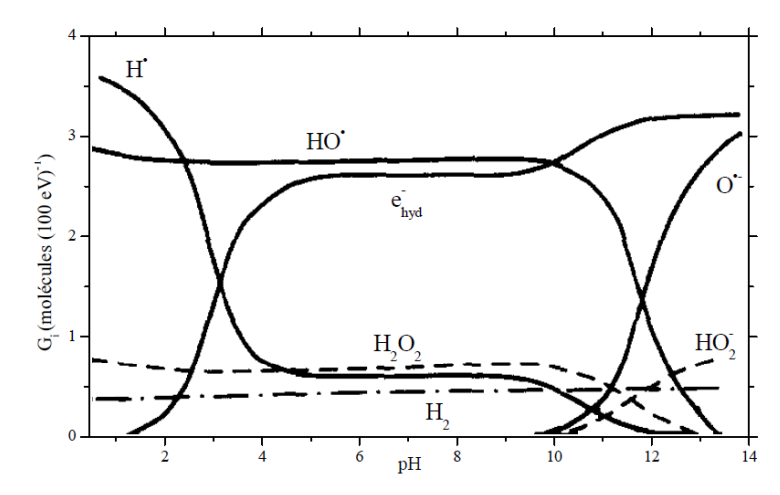


Rendement radiolytique : g ou $G(X)t = [X] / (\rho.D)$ en mol/J

ou molec/100eV

Vitesses de réaction





N. Getoff, Radiation-induced degradation of water pollutants - State of the art, Radiation Physics and Chemistry, 1996, 47(4), p. 581-593.

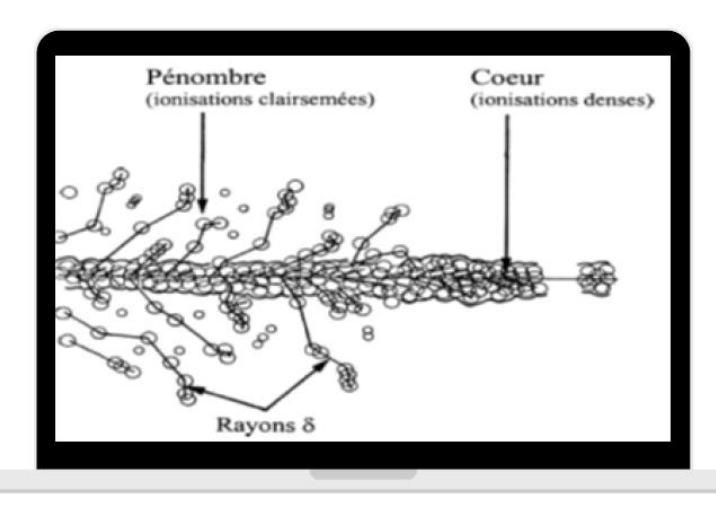
CE QUI INFLUENCE AUSSI LA RADIOLYSE DE L'EAU

ENERGIE & NATURE DU RAYONNEMENT : particules chargées, photons, électrons, et leur énergie



T.E.L: quantité d'énergie cédée par unité de distance en KeV/µm

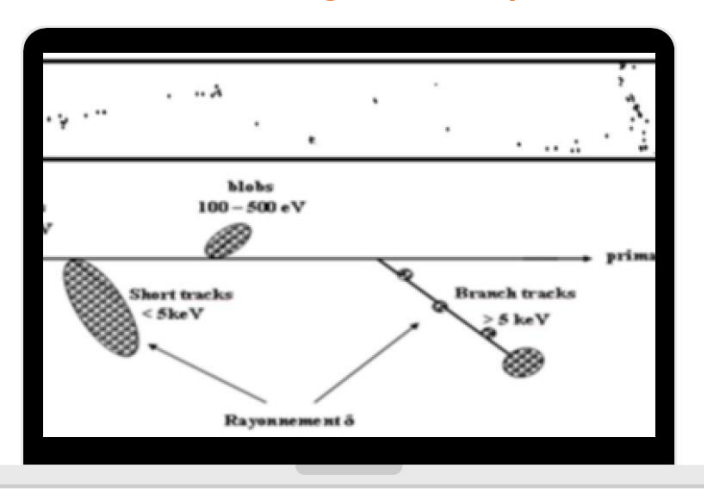
Particules chargées lourdes



Dépôt d'énergie dense et localisé

+ de produits moléculaires

Particules légères et photons



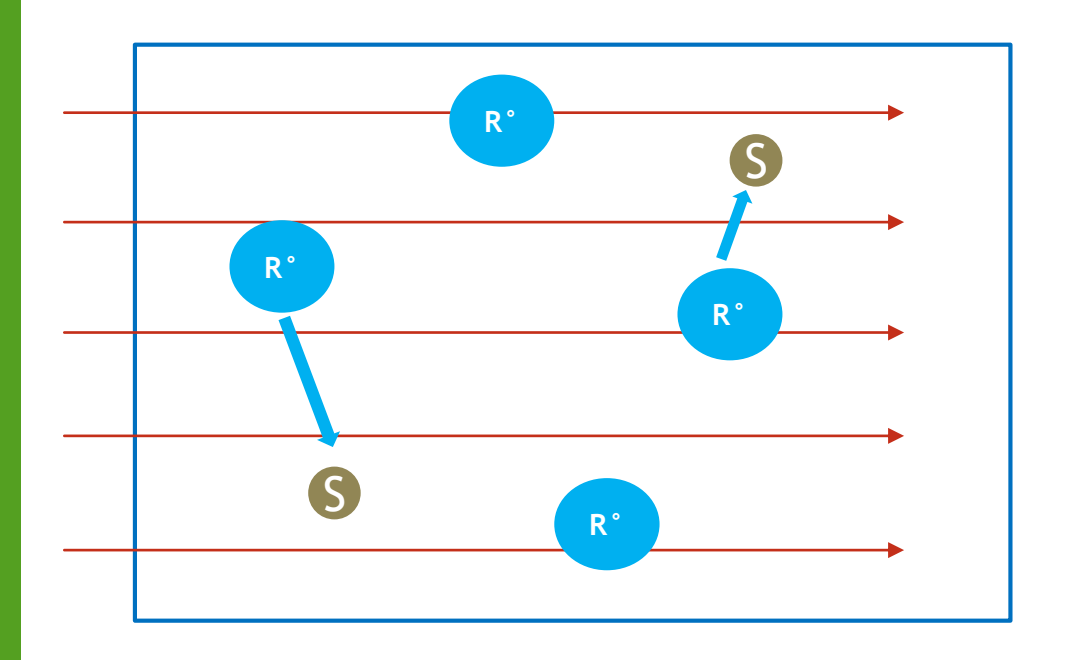
Très pénétrant, souvent homogène, peu d'interaction

+ de radicaux libres

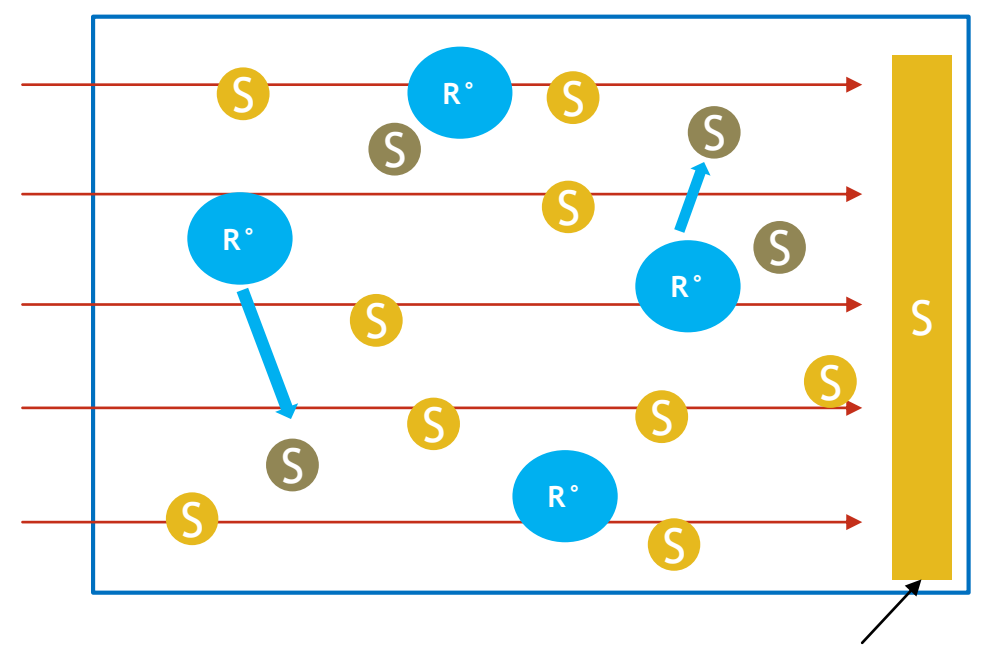
IMPORTANCE DES SOLUTES

O₂, ions, métaux, molécules organiques, ADN, etc...

Si [S] < 0,1 à 1 Mol/L



Si [S] > 0,1 à 1 Mol/L



Idem si S de grande taille

On ajoute des réactions spécifiques avec les solutés

Système complexe Modélisation numérique

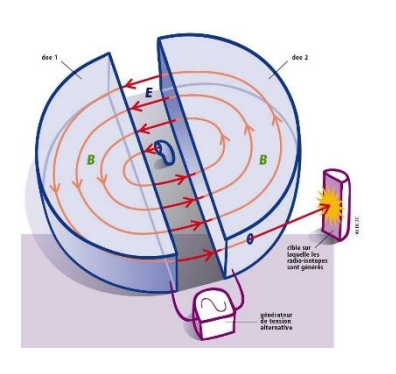
PRODUIRE LES ESPECES RADIOLYTIQUES

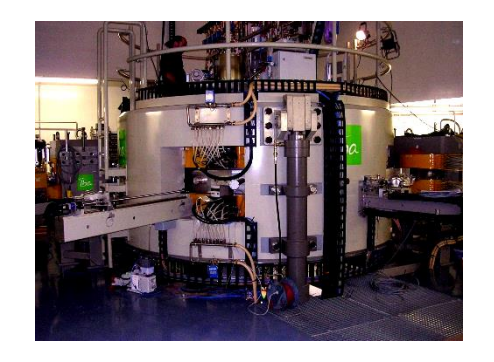
Mettre des éléments radioactifs en solution : effet chimique de l'élément ??



Irradiation externe

CYCLOTRON ARRONAX







@Nantes
Quasi unique au monde
3 particules : H- D- He²⁺
Fortes énergies 68MeV
Fortes intensités
1MeV = E d'1 électron accéléré avec une tension de 1 000 000 V !!

Modulation temporelle du faisceau

SOURCE RADIOACTIVE GAMMA



Cs₁₃₇, Co₆₀ Très grande activité Grande stabilité

2 INSTALLATIONS RARES

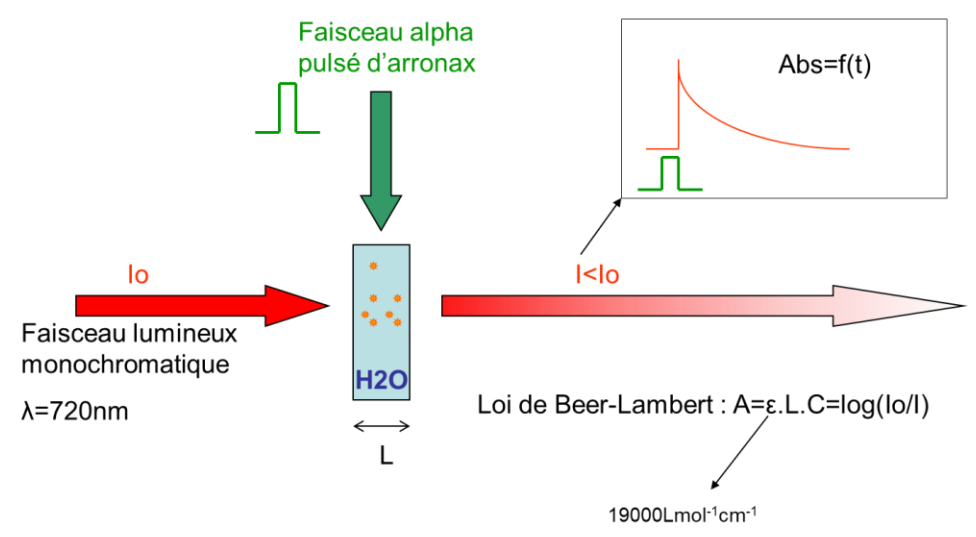
MESURER LES ESPECES RADIOLYTIQUES

LES ESPÈCE STABLES: LES RADICAUX: **PIEGAGE** $T_{1/2} = 25 \text{ min}$ $k = 1.93 \times 10^9 \text{ L.mol}^{-1}.\text{s}^{-1}$ HO H₃C Analyse RPE H₃C H₃C **DMPO DMPO-OH** Adduit de spin Piégeur Radical diamagnétique Radical H_2O_2 d'intérêt silencieux persistant 20000 Spectre RPE PHOP'I IN typique: $I_2 + I \longrightarrow I_3$ -20000

Temps de piégeage x [DMPO] A [

MESURER LES ESPECES RADIOLYTIQUES

RADIOLYSE PULSÉE



Difficulté:

- •C (concentration de l'espèce) est très faible
- •L'électron hydraté, crée en 10⁻¹⁶s, ne vit que qq dizaines de µs au mieux
- •Perturbation par des microbulles d'H₂

Exigeant:

- Haute intensité
- Faisceau modulable à 1µs
- Synchronisation
- Détection non-commerciale

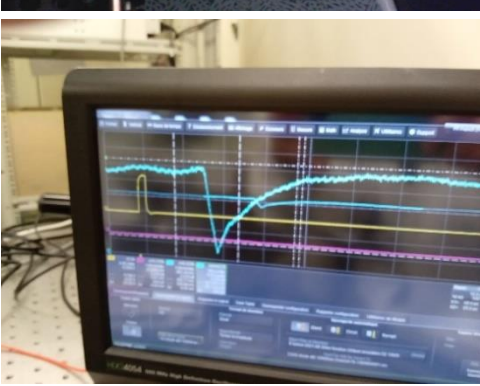


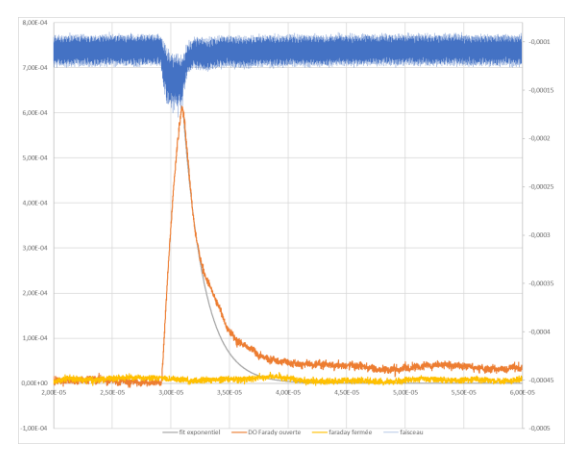




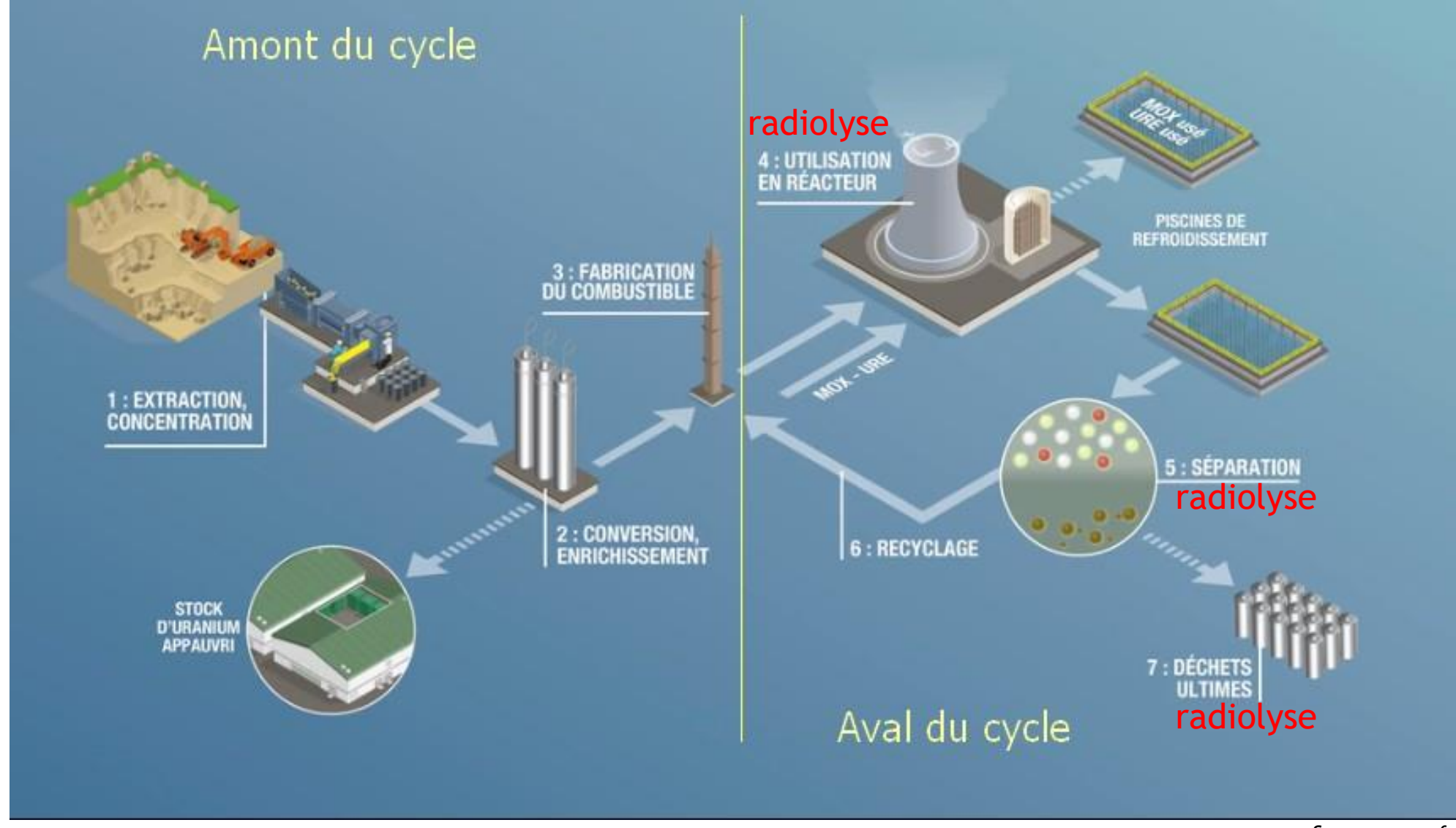






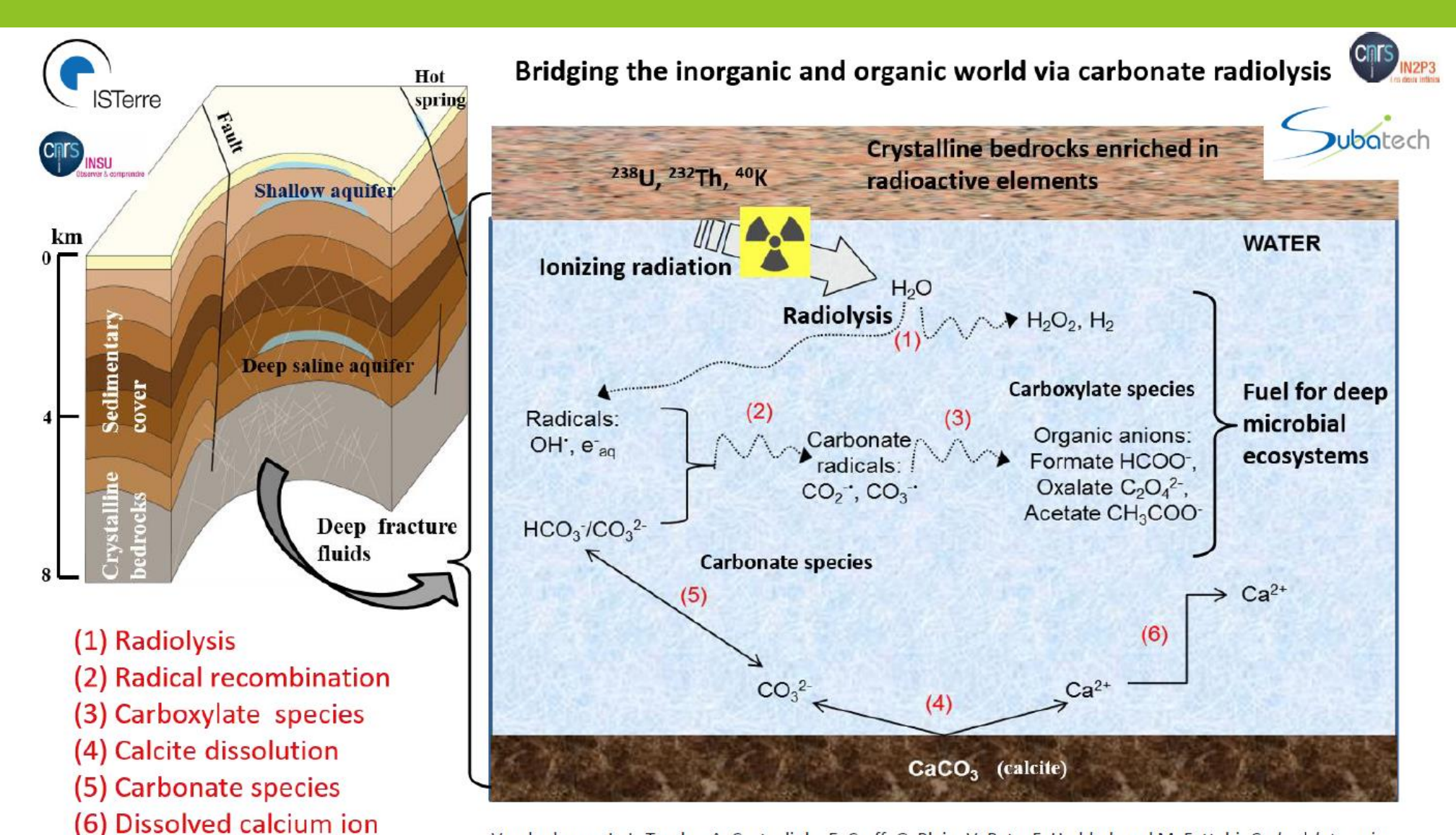


POURQUOI COMPRENDRE LA RADIOLYSE : CYCLE COMBUSTIBLE



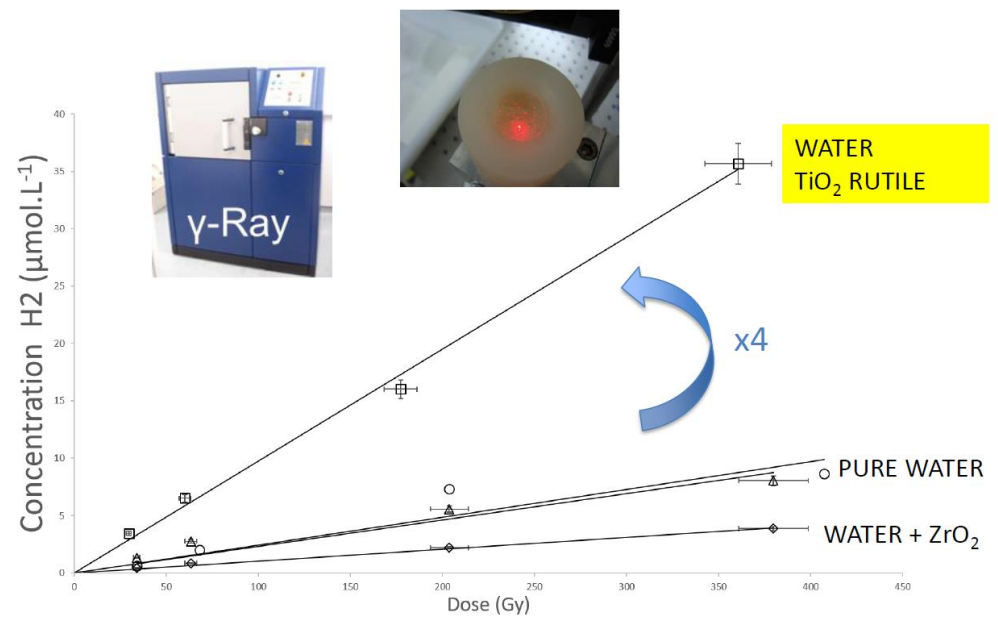
Source : cea.fr

POURQUOI COMPRENDRE LA RADIOLYSE : AUX ORIGINES DE LA VIE

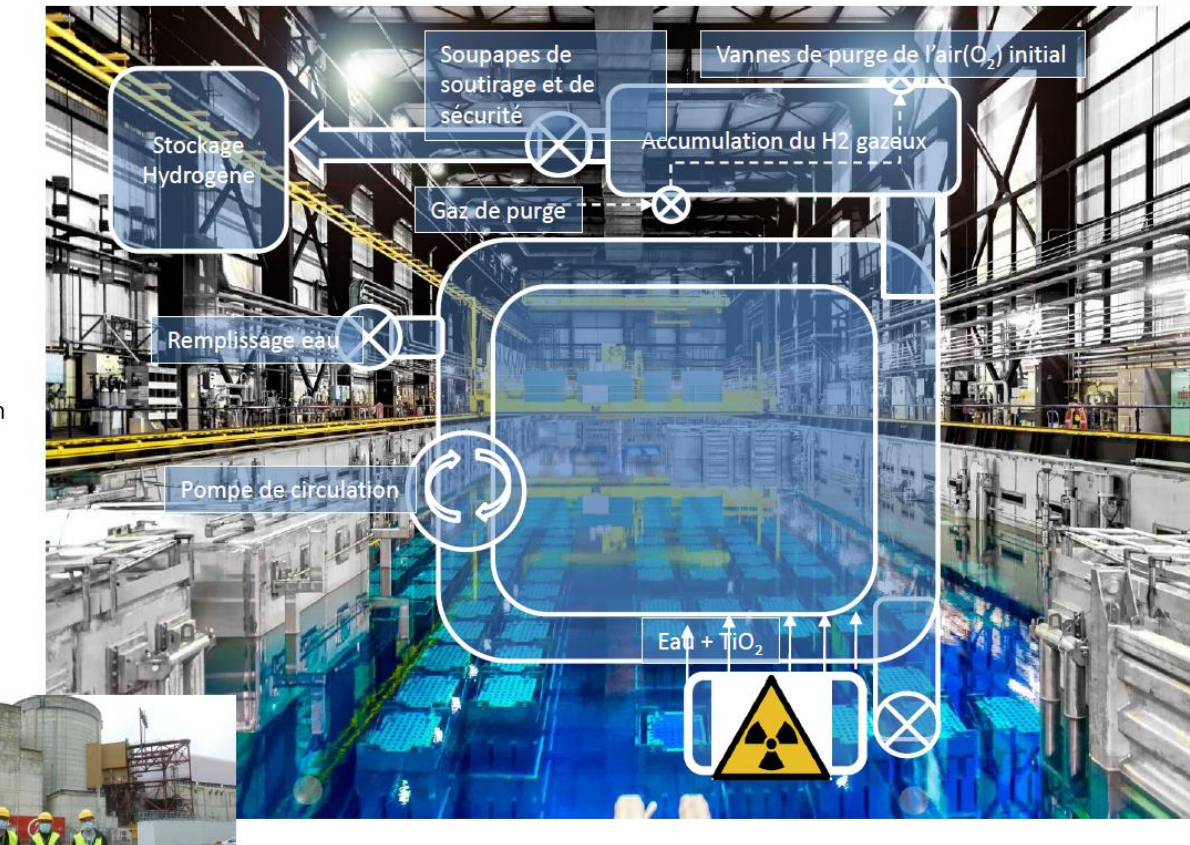


Vandenborre, J., L. Truche, A. Costagliola, E. Craff, G. Blain, V. Baty, F. Haddad, and M. Fattahi, *Carboxylate anion generation in aqueous solution from carbonate radiolysis, a potential route for abiotic organic acid synthesis on Earth and beyond*, Earth and Planetary Science Letters, 564 (**2021**) 116892.

POURQUOI COMPRENDRE LA RADIOLYSE : DE L'ENERGIE AUTREMENT

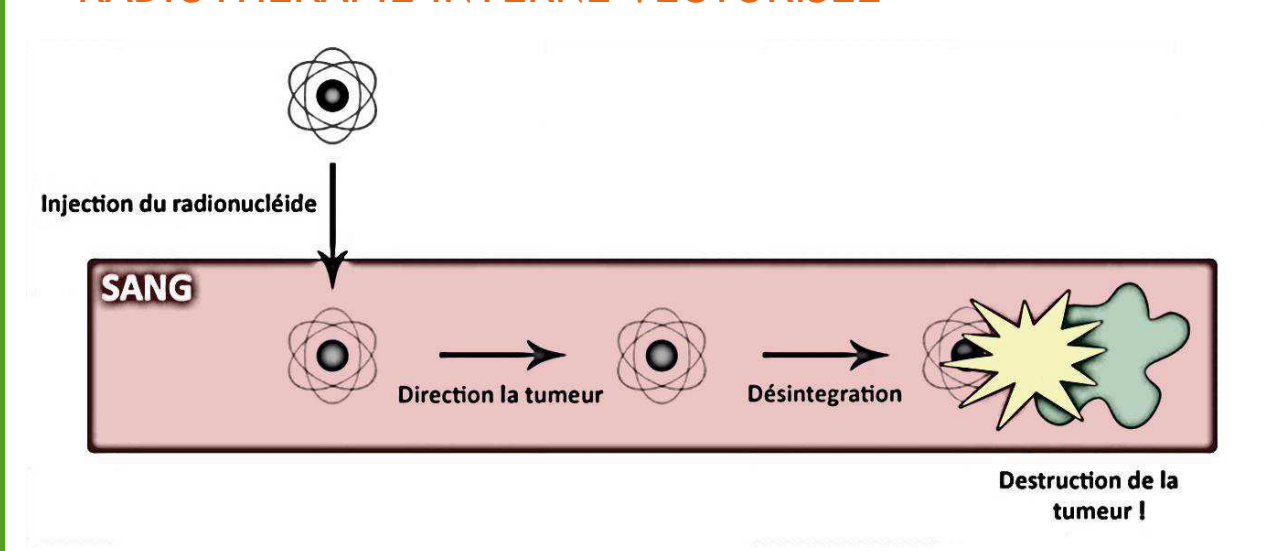


Guillonneau, S., 2021. Etude de la production de Dihydrogène par la radiolyse de l'eau en présence d'oxydes. Université de Nantes. STAGE MASTER 1

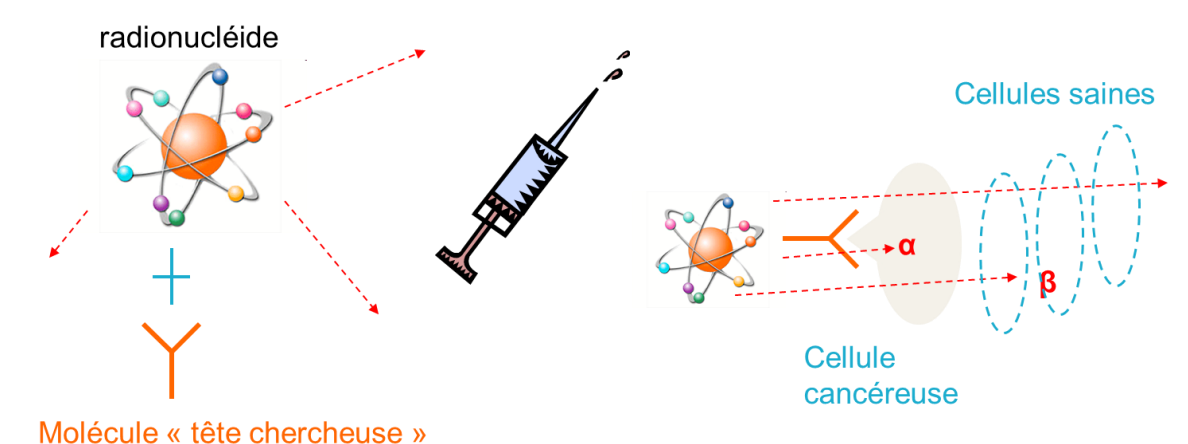


POURQUOI COMPRENDRE LA RADIOLYSE : CONTRE LE CANCER

RADIOTHERAPIE INTERNE VECTORISEE



Les avantages des émetteurs a



Produire de nouveaux isotopes :

- At211
- Ac225
- Fortes activités α

Radiotoxicité importante recherchée pour la tumeur

Quels effets de radiolyse sur :

- la tumeur
- les tissus sains
- · les procédés de production

AVANCEES RECENTES EN RADIOTHERAPIE EXTERNE : L'EFFET FLASH

▶ De l'importance des travaux interdisciplinaires

Collaboration FLASHMOD



6 disciplines Plus de 5 laboratoires Plus de 15 personnes

PARCOURT D'UN PATIENT EN RADIOTHERAPIE EXTERNE

- Objectif: Délivrer la dose absorbée prescrite dans la totalité du volume cible à mieux que ±5% tout en limitant au maximum l'irradiation des tissus sains avoisinants
- = Délivrer la bonne dose au bon endroit pour une efficacité optimale et une toxicité minimale
- Prescription: Dose totale, fractionnement, étalement (sein : 50 Gy, 25 fractions de 2 Gy, 5 fractions par semaine ; prostate : 60 Gy, 20 fractions de 3 Gy, 5 fractions par semaine)

Débits de dose conventionnels : quelques Gy/min



Consultation médicale

- Localisation
- Stade
- Prescription

Scanner

- Position de traitement
- Contentions
- Paramètres
- Produit de contraste ?

Planification

- •Dessin cibles et organes à risque
- Autres modalités d'imagerie
- •Machine de traitement
- Balistique
- •Calcul de la dose absorbée

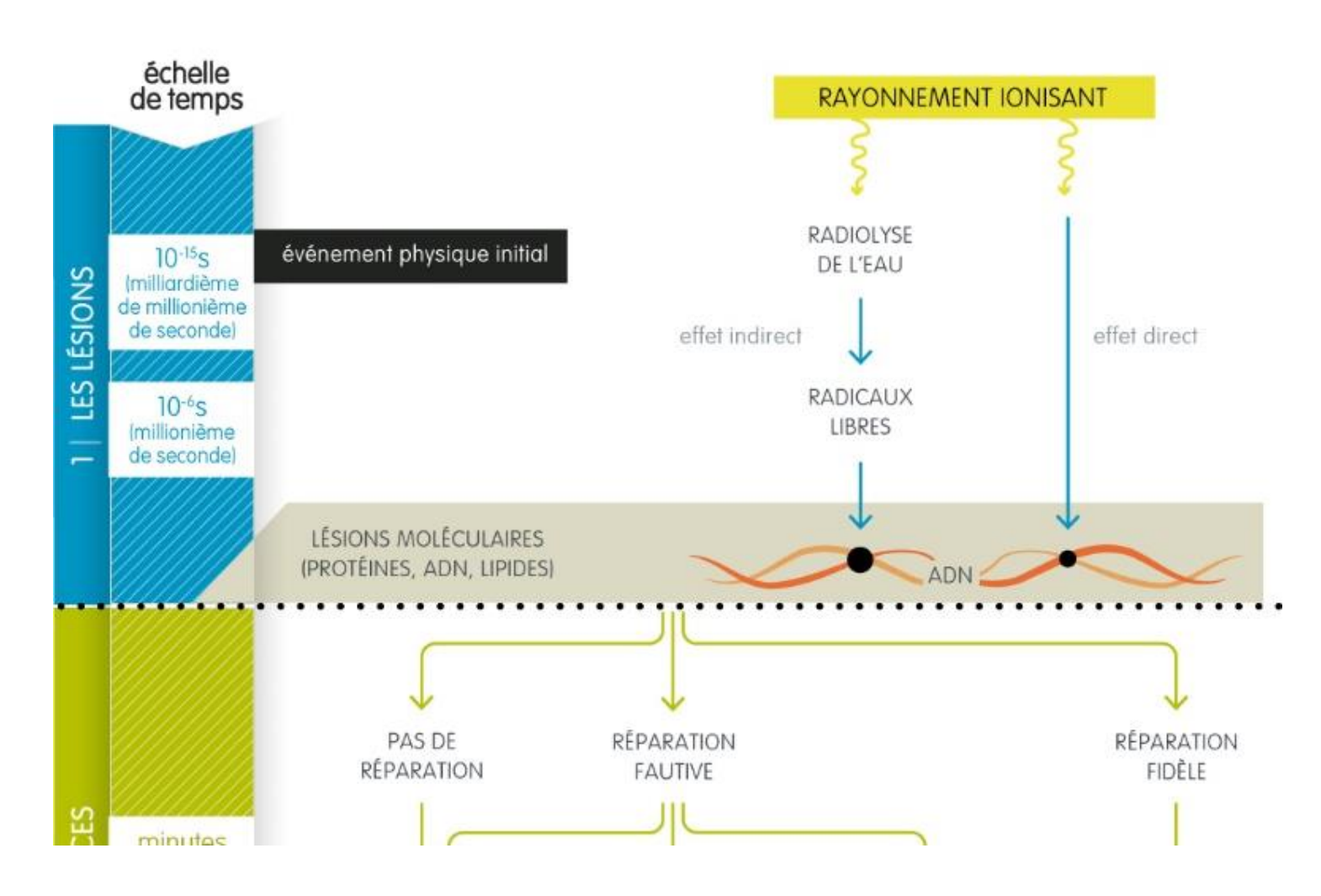
Vérifications Validations

- •Calcul de dose juste
- Traitement réalisable
- Exigences médicales remplies

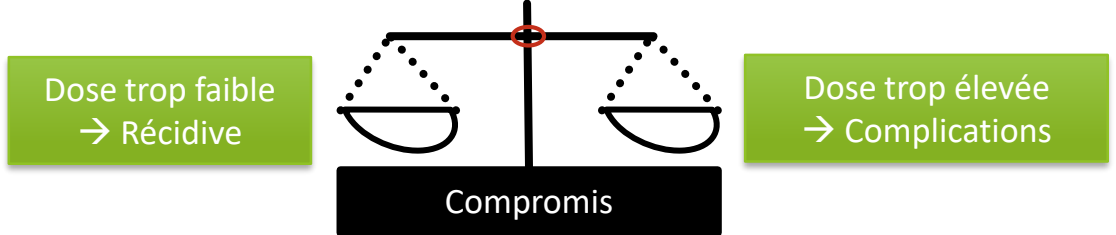
Traitement

- Vérifications
- Imagerie de positionnement
- Délivrance

BALANCE BÉNÉFICE / RISQUE



FENETRE THERAPEUTIQUE



TRAITEMENT

=

Provoquer la mort des cellules tumorales tout en limitant les effets secondaires sur les tissus sains

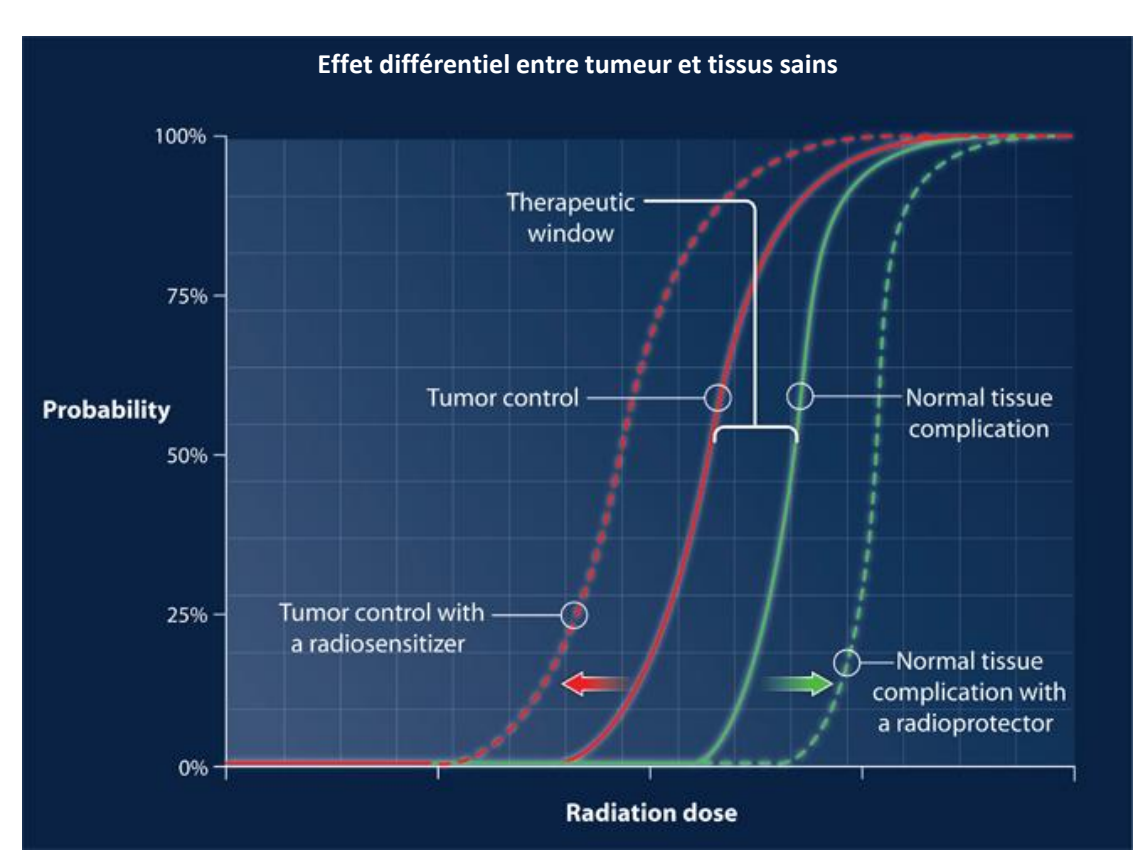
RECHERCHE

=

Augmenter la sensibilité de la tumeur ou Augmenter la résistance des tissus sains

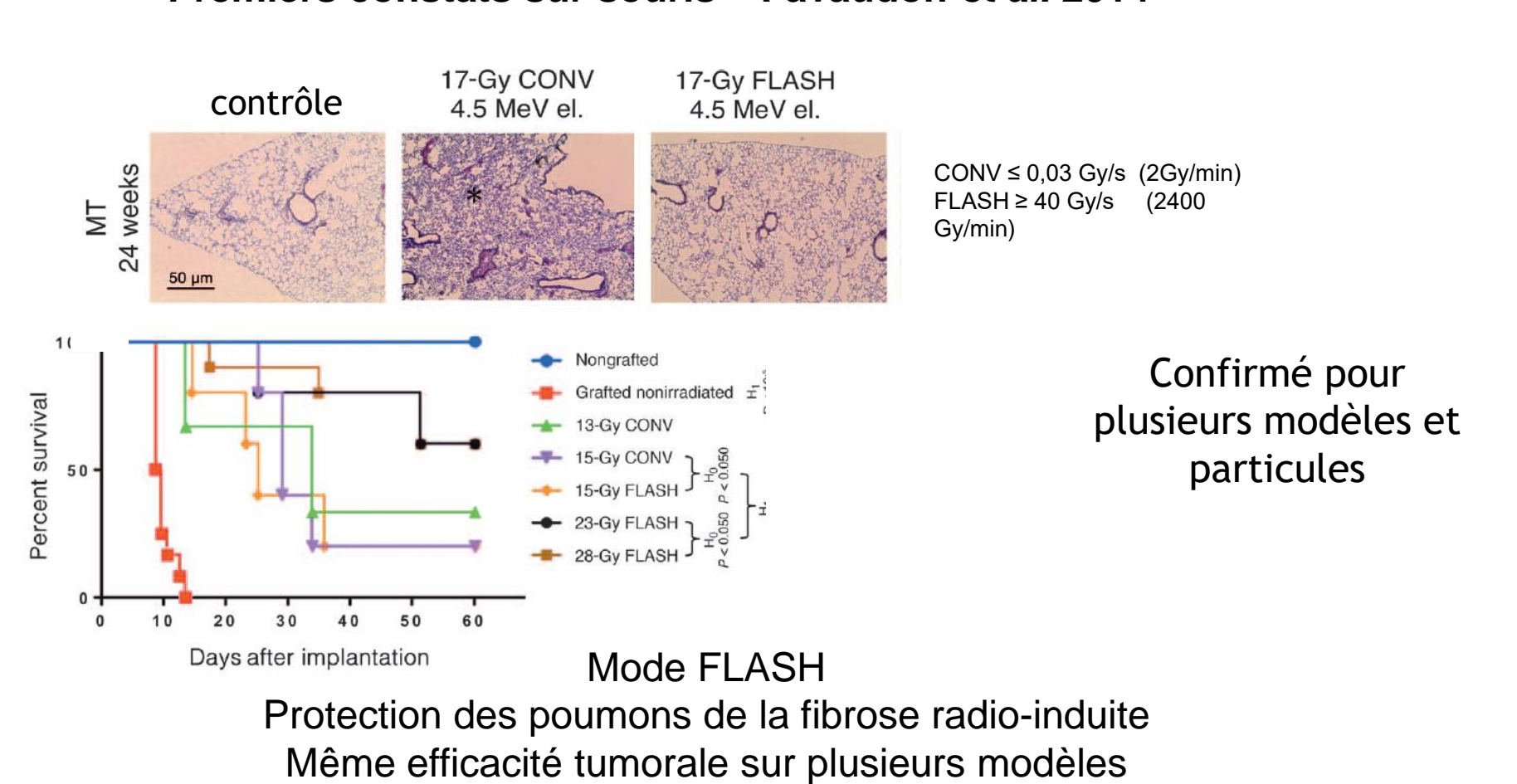


RADIOTHERAPIE FLASH



2014 : DECOUVERTE DE L'EFFET FLASH

Premiers constats sur souris – Favaudon et al. 2014





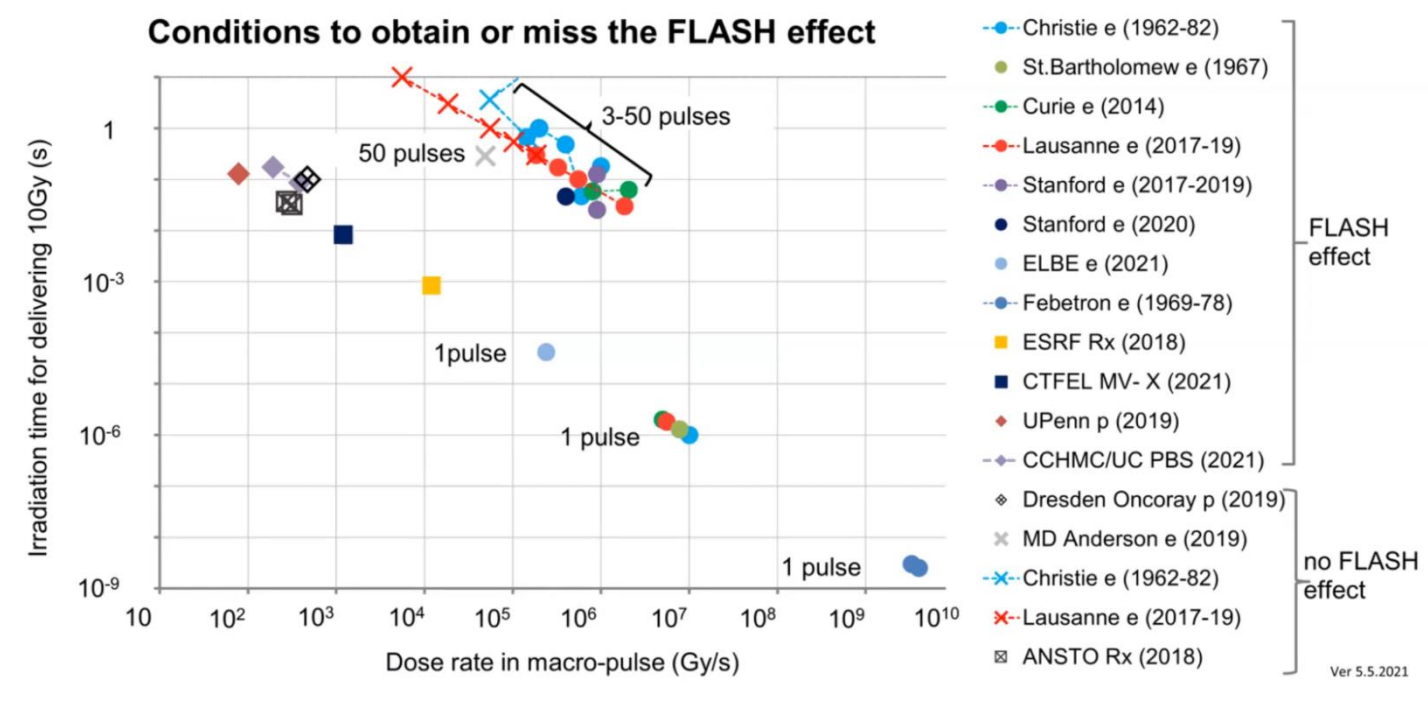
2020: UNE DEFINITION, UNE QUESTION

« FLASH radiotherapy is the delivery of ultra-high dose rate radiation several orders of magnitude higher than what is currently used in conventional clinical radiotherapy » (Hughes and Parsons, 2020)

☐ Ultra-haut débit de dose ou UHDR

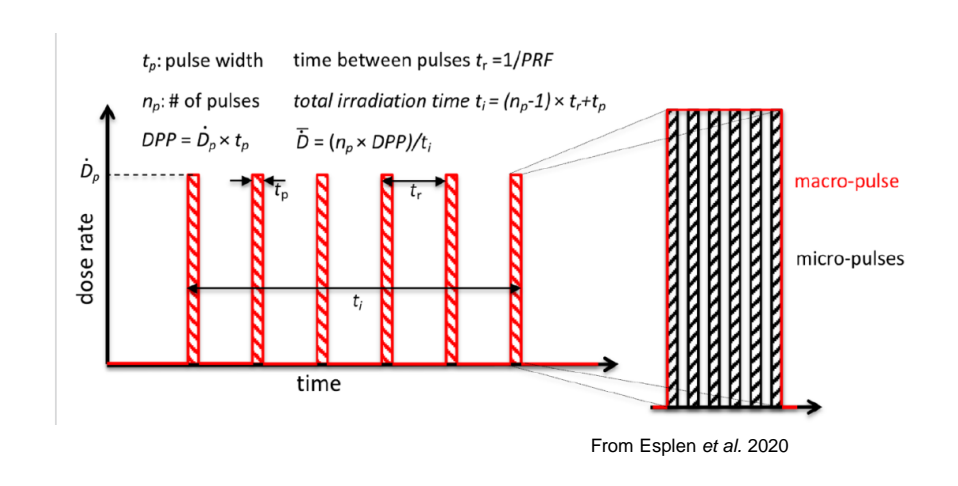
- □ > 40 Gy/s ou 2400 Gy/min, traitements conventionnels ~ < 10 Gy/min
- ☐ Observations in vivo de l'effet FLASH
 - Epargne du tissu sain
 - Efficacité tumorale





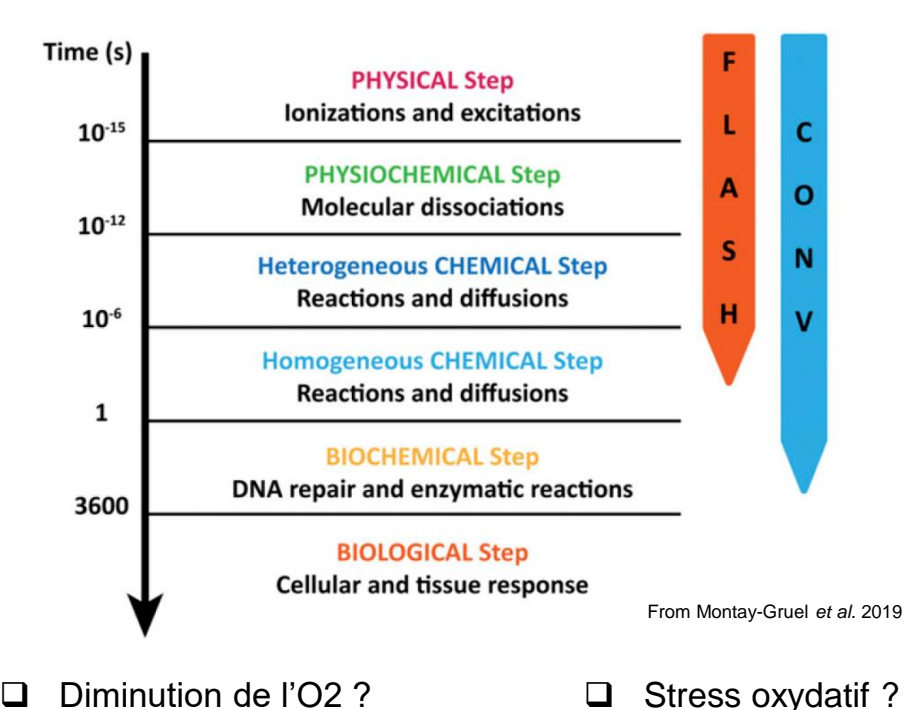
QUESTIONNEMENT MULTIPLE

QUELS SONT LES PARAMETRES QUI INFLUENCENT L'EFFET FLASH EN TERMES DE FAISCEAU ?



- Particule ?
- Débit dans le pulse ?
- Débit moyen ?
- **...**

QUELS SONT LES MECANISMES EN JEU POUR OBTENIR L'EFFET FLASH EN TERMES DE REACTIONS PHYSICO-CHIMIQUES ET BIOLOGIQUES ?



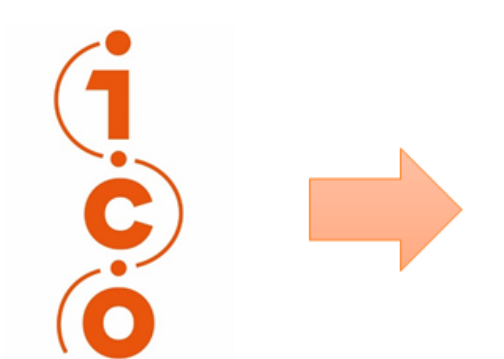
Recombinaison des radicaux?

L'INDISPENSABLE INTERDISCIPLINARITE

Equipe Accélérateur Equipe Instrumentation



Département de Radiothérapie Département de Physique médicale Equipe de Radiobiologie



Un environnement idéal pour étudier cette nouvelle modalité

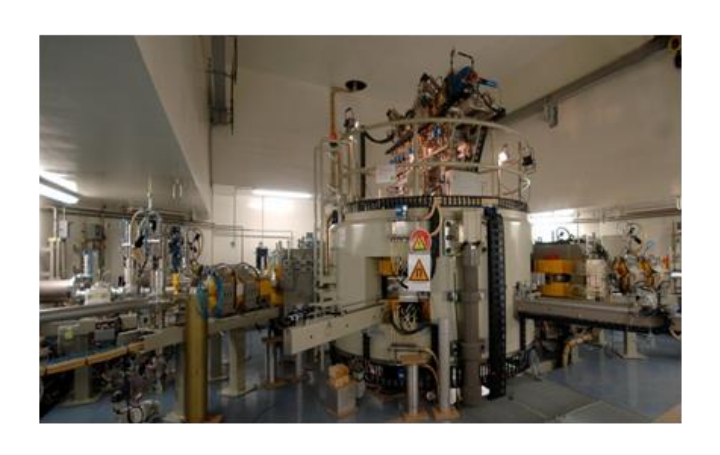
Equipe PRISMA
Equipe Radiochimie, Groupe Radiolyse



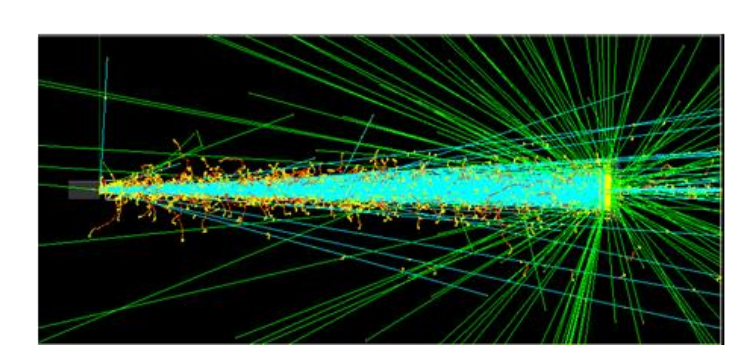
L'INDISPENSABLE INTERDISCIPLINARITE

Notre projet à Nantes

PRODUCTION DU FAISCEAU

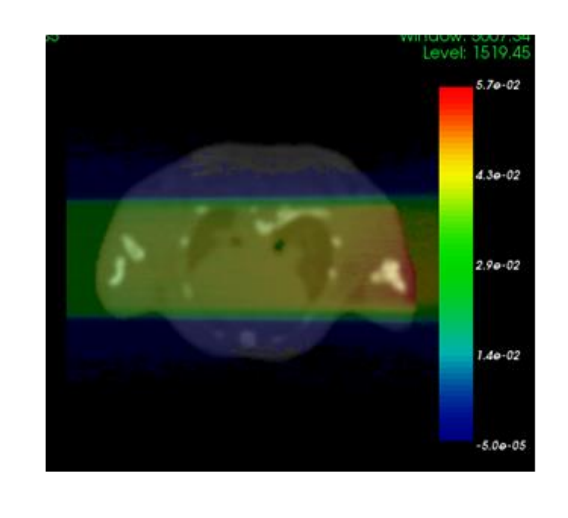


DOSIMETRIE ET CALCUL

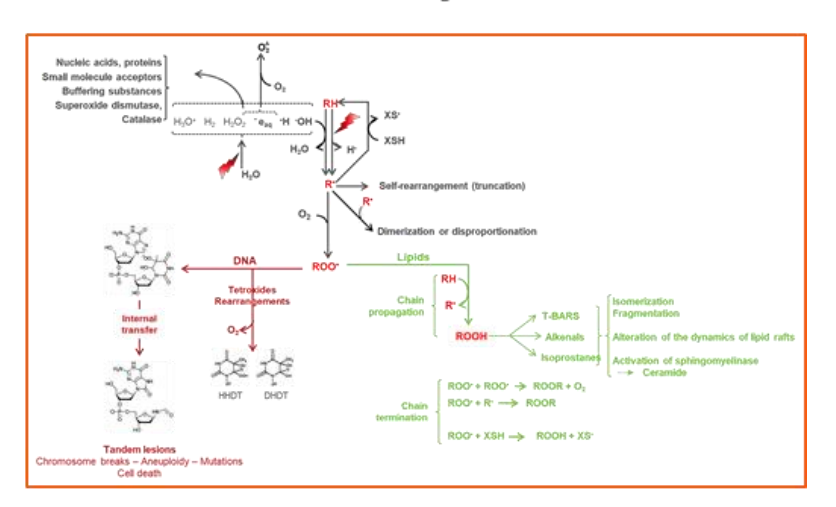


APPLICATIONS EXPERIMENTALES

Radiobiologie

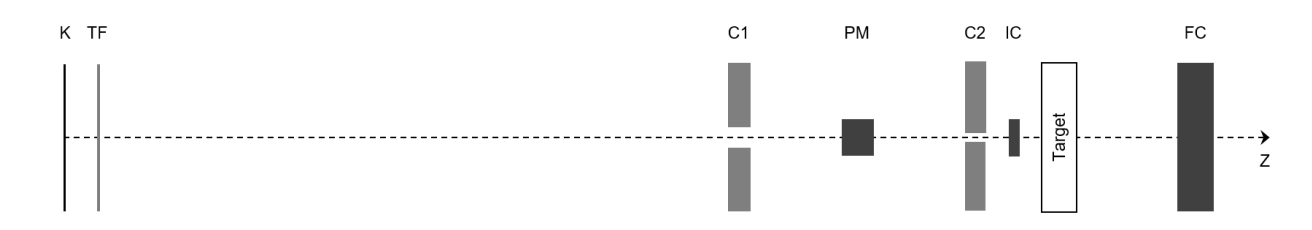


Radiolyse

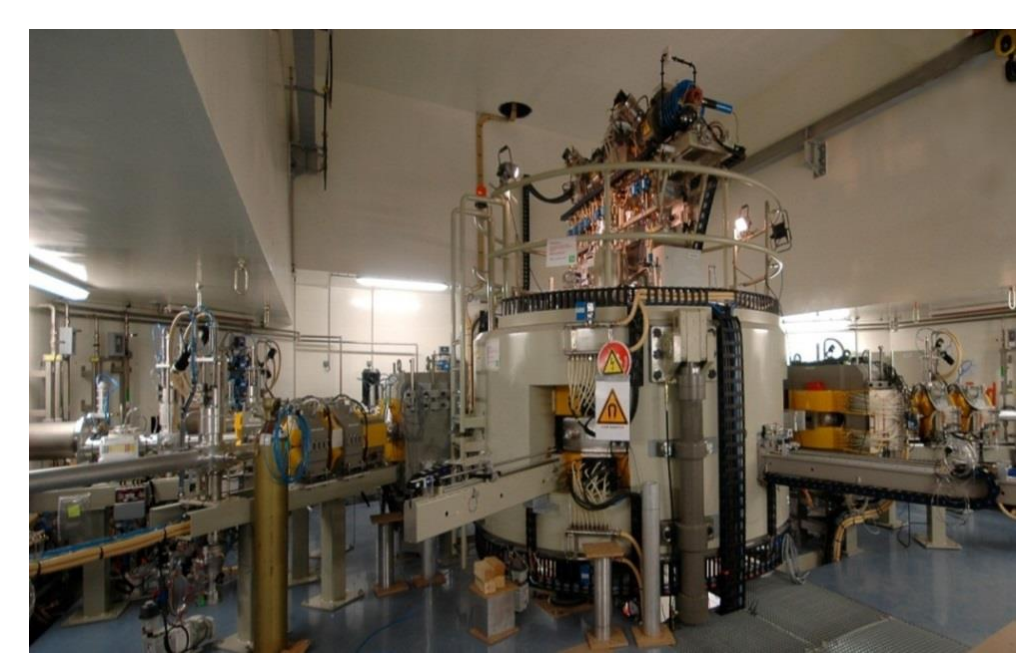


PRODUIRE DES FAISCEAUX DE PARTICULE ADAPTES

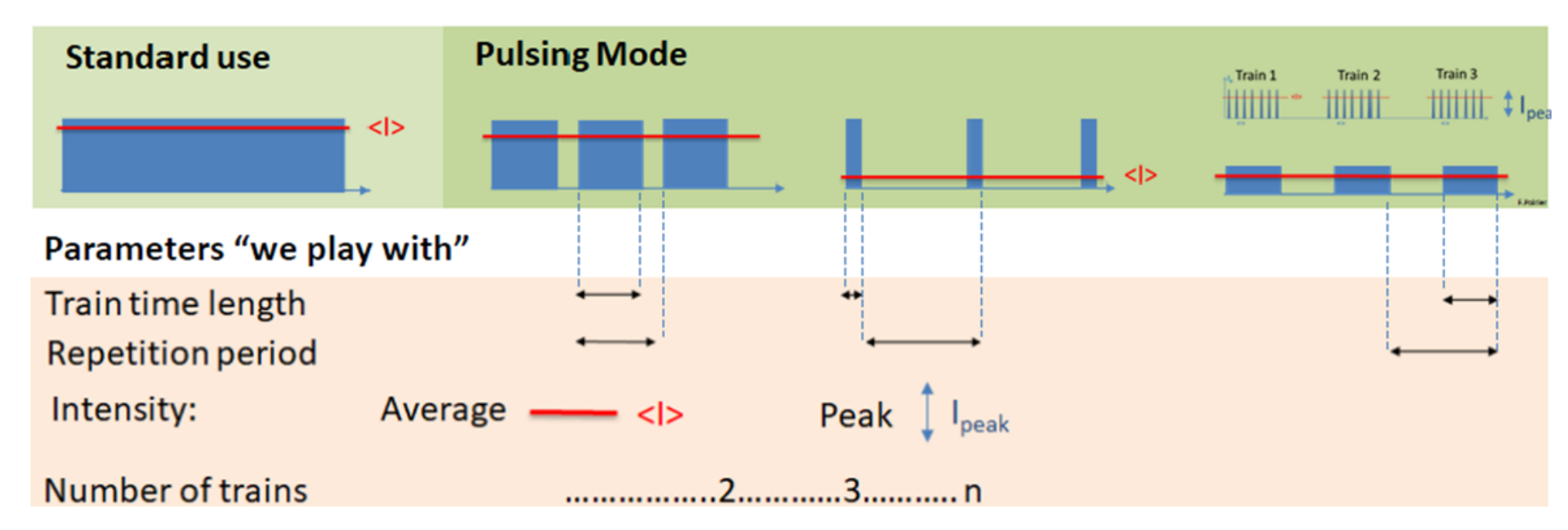
- Developpement d'un commutateur pour changer le mode de debit (CONV/UHDR)
 - Système de pulsation permettant de modifier la structure des pulses d'irradiation de quelques µs à quelques secondes (Poirier et al. 2019)
- Faisceau protons de 68 MeV
 - > Energie adaptée aux applications visées
 - > Diamètre du faisceau de 10 à 15 mm



TF = 52-µm tungsten foil
C1 & C2 = Aluminum collimators
PM = photomultiplier tube for UHDR dose readings
IC = ionization chamber for CONV dose readings
FC = Farady cup for PM and IC calibration



STRUCTURE TEMPORELLE DES FAISCEAUX



De Freddy Poirier, Arronax

Cyclotron ARRONAX capable de produire un faisceau à ultra haut débit de dose en protons et en alpha

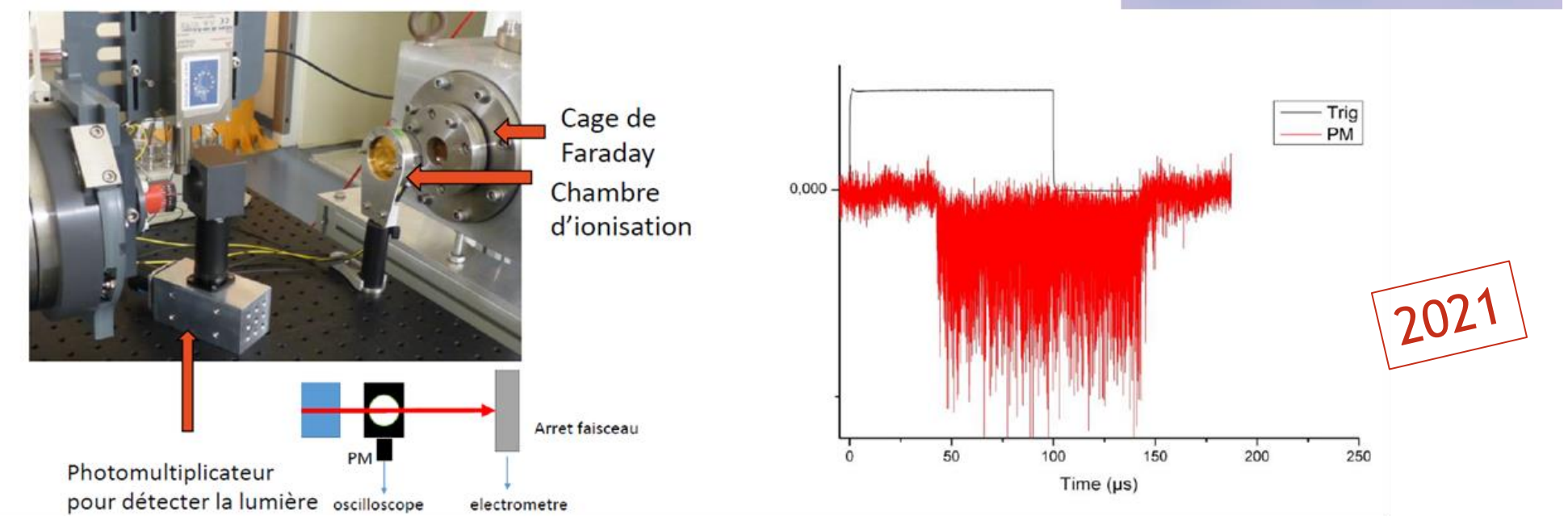
Une flexibilité rare dans le monde des irradiateurs !!! Possibilité de faire varier le nombre de pulses, la durée des pulses, l'intensité, ... Arronax : une opportunité pour étudier l'effet de la structure du pulse d'irradiation

MESURER ET MAITRISER LA DOSE

☐ Mise en place d'un système de dosimétrie adapté aux ultra hauts debits de dose

Villoing D. et al. Proton beam dosimetry at ultra-high dose rates (FLASH): Evaluation of GAFchromic (EBT3, EBT-XD) and OrthoChromic (OC-1) film performances. Med Phys. 2022 Feb 18. doi: 10.1002/mp.15526. Villoing D. et al. 1er prix *Poster discussion. Flash Radiotherapy & Particle Therapy (FRPT) conference, Vienna, December 2021.*

Dosimétrie par film (OC-1)

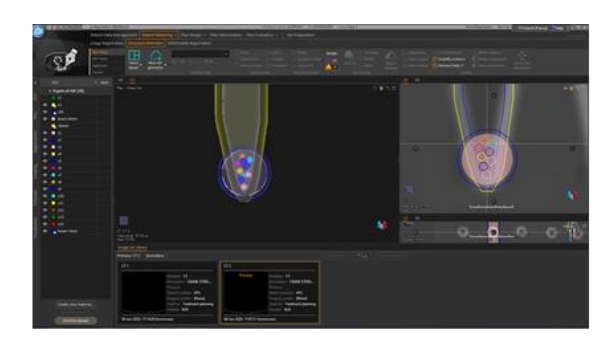


Dosimétrie du faisceau possible, au moins en temps différé

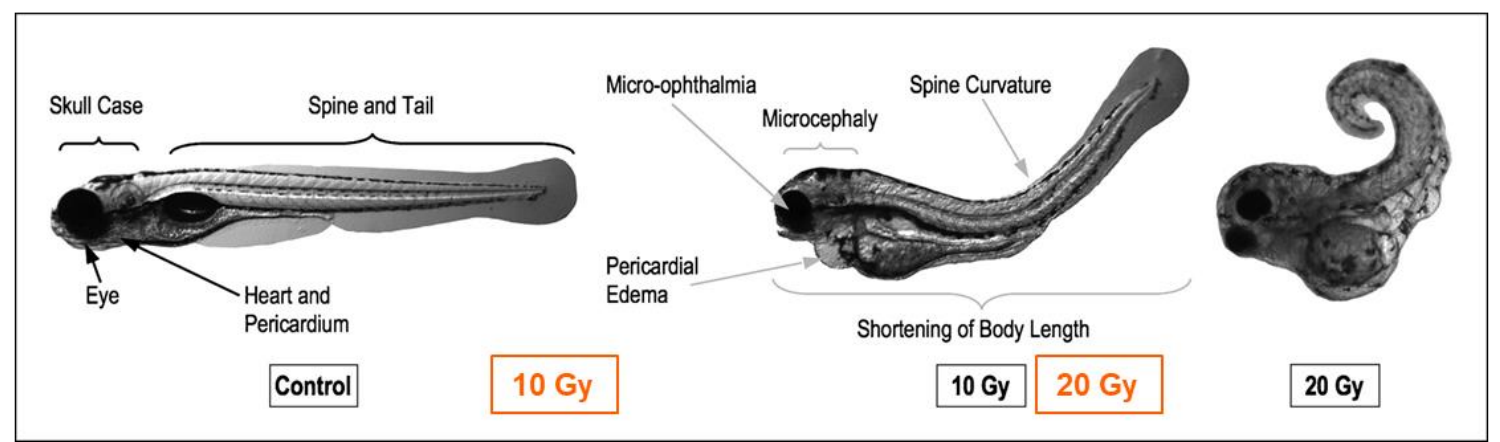
MODELE BIOLOGIQUE: POISSON-ZEBRE







Objectif : observer le développement de l'embryon en fonction du débit



CONV UHDR

Effet-FLASH obtenu à Nantes par notre collaboration



Saade G, et al - Ultrahigh-Dose-Rate Proton Irradiation Elicits Reduced Toxicity in Zebrafish Embryos. Adv Radiat Oncol. 2022 Nov 19;8(2):101124.

APPORT DE LA RADIOLYSE : HYPOTHESE

Hypothèse: formation moins importante de ROS (Reactive Oxygen Species).

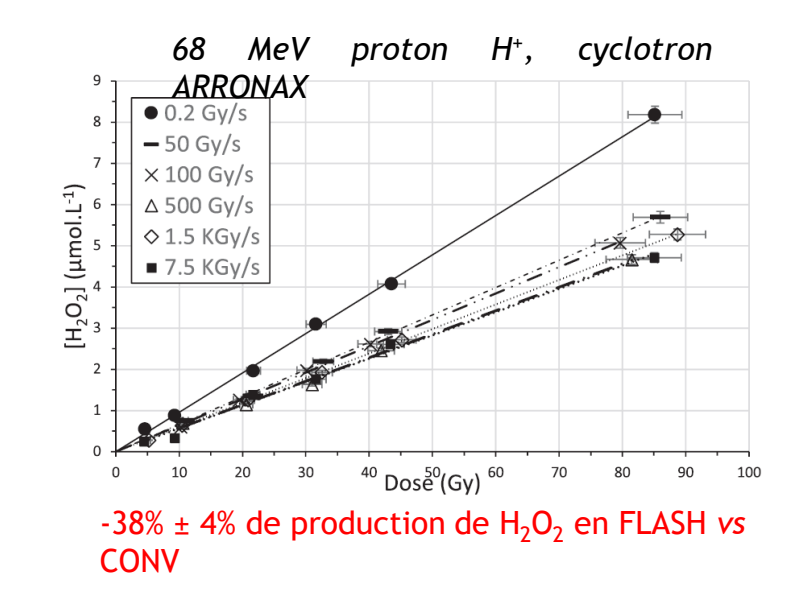
Radiolyse de l'eau: $H_2O \rightsquigarrow e_{aq}^-$, H^{\bullet} , $H0^{\bullet}$, $O_2^{\bullet-}$, $H0^-$, H_3O^+ , H_2 , H_2O_2 $H0^{\bullet} + H0^{\bullet} \rightarrow H_2O_2$

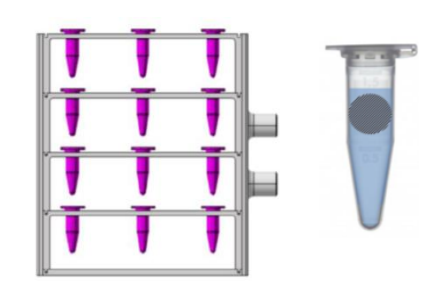
Suivi de H₂O₂ en condition FLASH vs CONV :

P. Montay-Gruel et al., 2019 [1]

6 MeV électron LINAC B $[H_2O_2]$ measurement in 4% O_2 irradiated water Moins de H_2O_2 formé sous FLASH O,1 Gy/s CONV FLASH Dose (Gy)

G. Blain et al., 2022 [2]



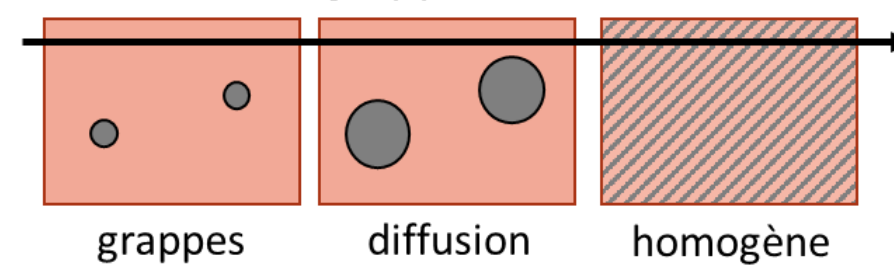


[1] P. Montay-Gruel et al., 2019, Proceedings of the National Academy of Sciences, 116 (22), 10943-10951.

[2] G. Blain et al., **2022**, Radiation Research, 198, doi: 10.1667/RADE-22-00021.1.

APPORT DE LA RADIOLYSE : HYPOTHESE

Théorie des grappes @ faible T.E.L. [1]



Réactions au sein des grappes (≤µs)

$$^{\circ}\text{OH} + ^{\circ}\text{OH} \rightarrow H_{2}\text{O}_{2} \text{ (k = 0.55 } 10^{10} \text{ M}^{-1}.\text{s}^{-1})$$
 $^{\circ}\text{OH} + \text{e}^{-}_{\text{aq}} \rightarrow \text{OH}^{-} \text{ (k = 3.00 } 10^{10} \text{ M}^{-1}.\text{s}^{-1})$

$$^{\circ}\text{OH} + ^{\circ}\text{H} \rightarrow \text{H}_{2}\text{O} \text{ (k = 0.97 10}^{10} \text{ M}^{-1}.\text{s}^{-1}\text{)}$$

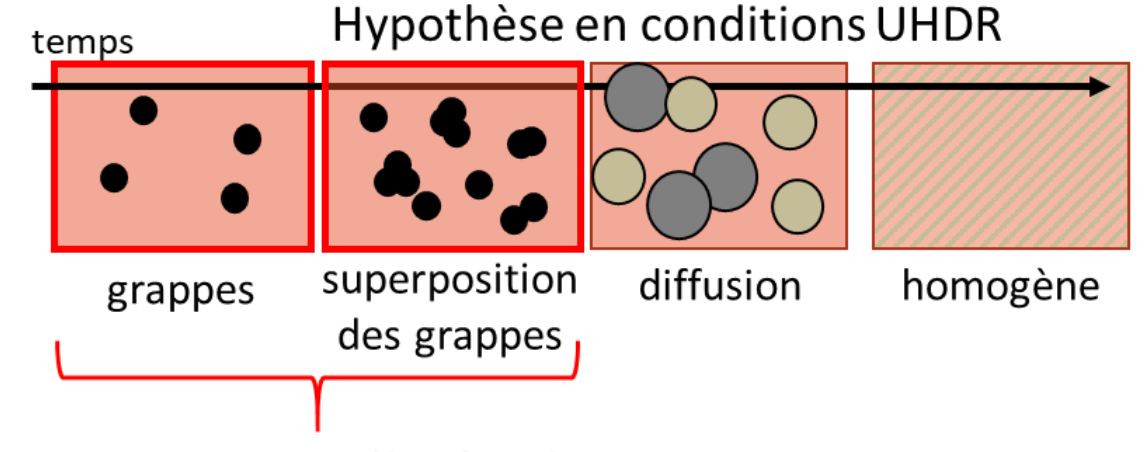
$$e^{-}_{aq} + H_3O^+ \rightarrow {}^{\circ}H + H_2O (k = 2.30 \ 10^{10} \ M^{-1}.s^{-1})$$

$$e^{-}_{aq} + e^{-}_{aq} + 2 H_2O \rightarrow H_2 + 2 OH^{-} (k = 0.55 10^{10} M^{-1}.s^{-1})$$

$$e^{-}_{aq}$$
 + H_2O + ${}^{\circ}H$ \rightarrow H_2 + OH^- (k = 2.50 10^{10} $M^{-1}.s^{-1}$)

$$^{\circ}H + ^{\circ}H \rightarrow H_2 \ (k = 0.78 \ 10^{10} \ M^{-1}.s^{-1})$$

$$H_3O^+ + OH^- \rightarrow 2 H_2O (k = 14.3 \ 10^{10} \ M^{-1}.s^{-1})$$



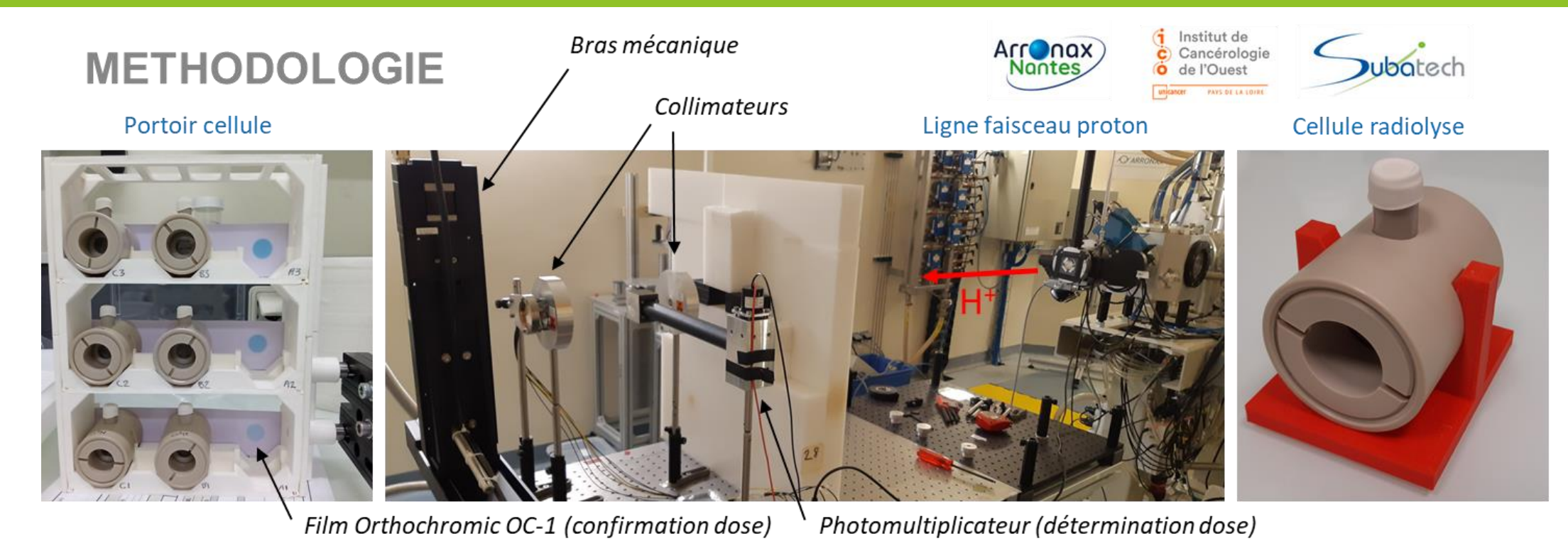
Concentrations élevées des grappes

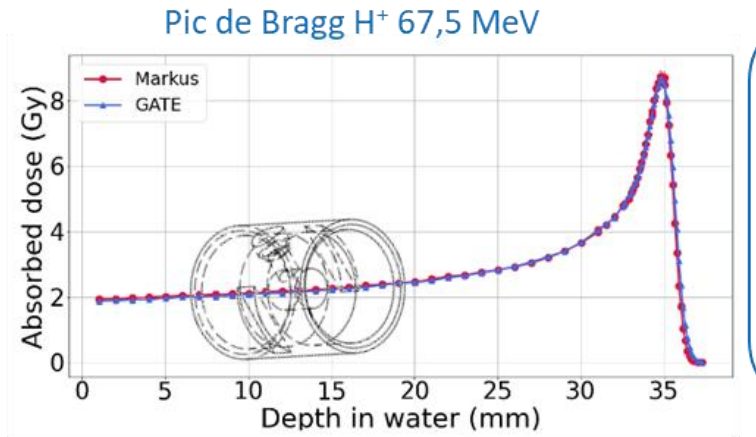
Moins de °OH disponible pour former H_2O_2

-38% de production de H₂O₂ après irradiation en protons UHDR vs CONV

Pour vérifier cette hypothèse, possibilité d'utiliser un piégeur de l'e_{aq} : le **protoxyde d'azote N₂O**

L'EXPERIENCE DE TOUS POUR REALISER... L'EXPERIENCE





Paramètres étudiés :

Débit de dose : CONV ~0,2 Gy/s

UHDR 40-6000 Gy/s

Atmosphère : Air

Protoxyde d'azote N_2O

Argon

Mesures:

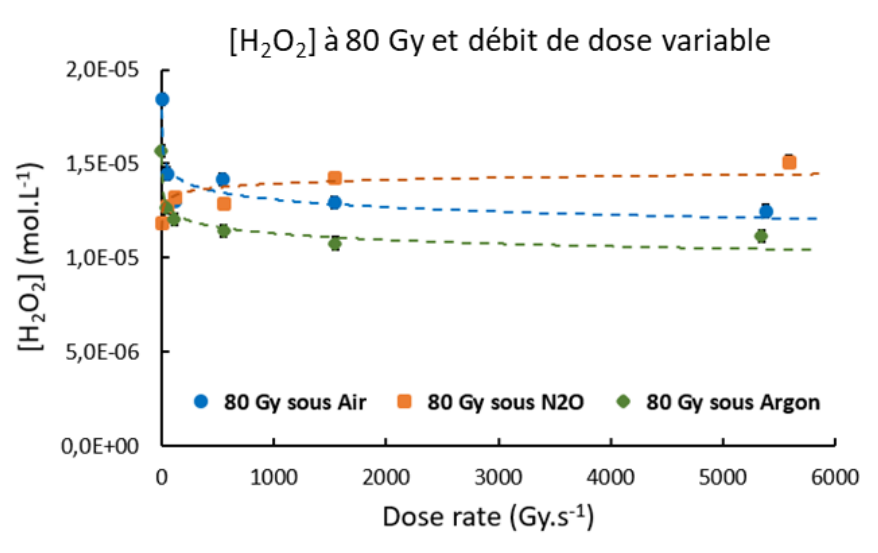
[H₂O₂] par dosage de Ghormley [1]

$$I_2 + I^- \rightarrow I_3^-$$
 (Abs 351nm)

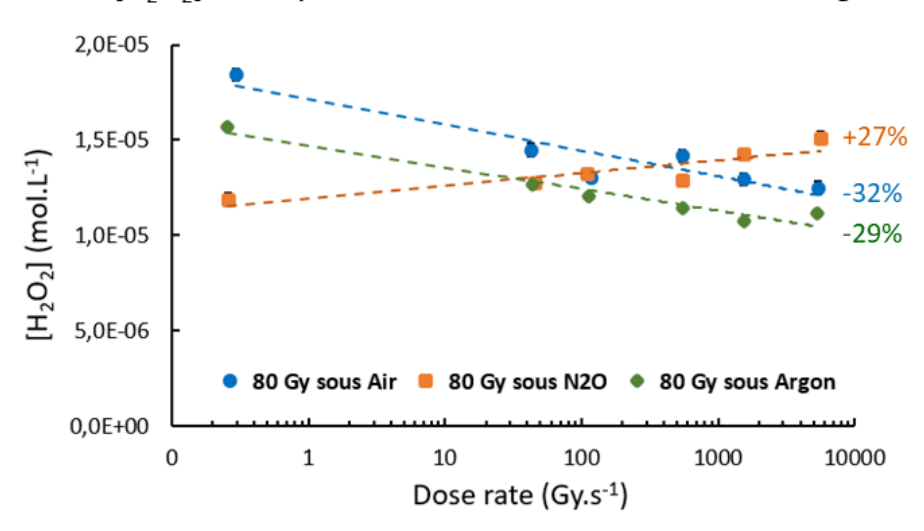
Rendement radiolytique $G(H_2O_2)$

$$G(H_2O_2) = \frac{d(n(H_2O_2))}{d(dose)}$$
 (mol/J)

L'EXPERIENCE DE TOUS POUR REALISER... L'EXPERIENCE



[H₂O₂] à 80 Gy et débit de dose variable en échelle log.



DISCUSSION

$$H0^{\bullet} + H0^{\bullet} \rightarrow H_2O_2$$
 $k = 0.55 \times 10^{10} \text{ L.mol}^{-1}.\text{sec}^{-1}$

$$HO^{\bullet} + e_{aq}^{-} \longrightarrow HO^{-}$$
 $k = 3.0 \times 10^{10} \text{ L.mol}^{-1}.\text{sec}^{-1}$

En présence de O_2 :

$$H^{\bullet} + O_2 \longrightarrow HO_2^{\bullet}$$
 $e_{aq}^- + O_2 \longrightarrow O_2^{\bullet-}$

$$O_2^{\bullet-} + H^+ \iff HO_2^{\bullet} \quad HO_2^{\bullet} + H^{\bullet} \longrightarrow H_2 O_2$$

Sous Air : chute de 32% de $[H_2O_2]$ en UHDR

Sous Argon : absence de O_2 , même tendance que sous Air mais avec $[H_2O_2]$ plus faible

Sous N₂O: perte de la baisse de [H₂O₂]

Scavenging
$$N_2O + e_{aq}^- + H_2O \rightarrow N_2 + HO^{\bullet} + HO^{-}$$

Confirme le rôle important de l'électron aqueux e_{aq}^- dans l'étape de mécanisme radiolytique

Absence de $HO^{\bullet} + e_{aq}^{-} \longrightarrow HO^{-}$ donc $H_2O_2 \nearrow$ avec DD

VERS UN MECANISME : APPORT DES MODELES NUMERIQUES

k=2.00e10

k=9.00e10

k=1.00e10

k=1.00e10

k=1.07e10

Réactions, constantes cinetiques, G-values + code Monte-CARLO = calcul ab-inito

> //extended part $H + O^- \rightarrow OH^-$

 $H + HO_2 \rightarrow H_2O_2$

 $H + O_2^- \rightarrow HO_2^-$

 $H_3O^+ + O_3^- \to OH + O_2$

 $OH + O_2^- \rightarrow O_2 + OH^-$

ConstructSecondOrderReactionExtended $*H+*H\rightarrow H_2$ k=0.5e10 $e_{aa} + H^* + H_2O \rightarrow H_2 + OH^$ k=2.5e10 $e_{aa} + e_{aa} + 2H_2O \rightarrow H_2 + 2OH^$ k=0.636e10 $H_3O^+ + OH^- \rightarrow 2H_2O$ k=1.13e11 $* OH +* H \rightarrow H_2O$ k=1.55e10 $*OH +*OH \rightarrow H_2O_2$ k=0. $e_{aa} + *OH \rightarrow OH^$ k=2. $e_{aa} + H_2O_2 \to OH^- + *OH$ k=1. $e_{aa} + H_3 O^+ \rightarrow H^* + H_2 O$ k=2.1

ConstructWaterScavengerReaction

 $O_2^- + H_2O \rightarrow O^- + O_2$

 $H + H_2O \rightarrow e_{aq} + H_3O$ $e_{aa} + H_2O \rightarrow H + OH$

 $HO_2 + H_2O \rightarrow H_3O + O_2^-$

 $0^{-}_{2} + H_{2}O \rightarrow HO_{2} + OH^{-}$

 $0^- + H_2O \rightarrow OH + OH^-$

 $e_{aa} + H_3O^+ \to H + H_2O$

 $OH^- + H_3O^+ \rightarrow 2H_2O$

 $H_3O^+ + OH^- \rightarrow 2H_2O$

 $H + OH^- \rightarrow H_2O + e_{aa}$

 $OH + OH^{-} \rightarrow O^{-} + H_{2}O$

 $HO_2 + OH^- \rightarrow O_2^- + H_2O$

 $H_2O_2 + OH^- \rightarrow HO_2^- + H_2O$

 $O_2^- + H_3O^+ \rightarrow HO_2 + H_2O$

 $0^- + H_3 O^+ \rightarrow OH + H_2 O$

 $HO_2^- + H_3O^+ \rightarrow H_2O_2 + H_2O$

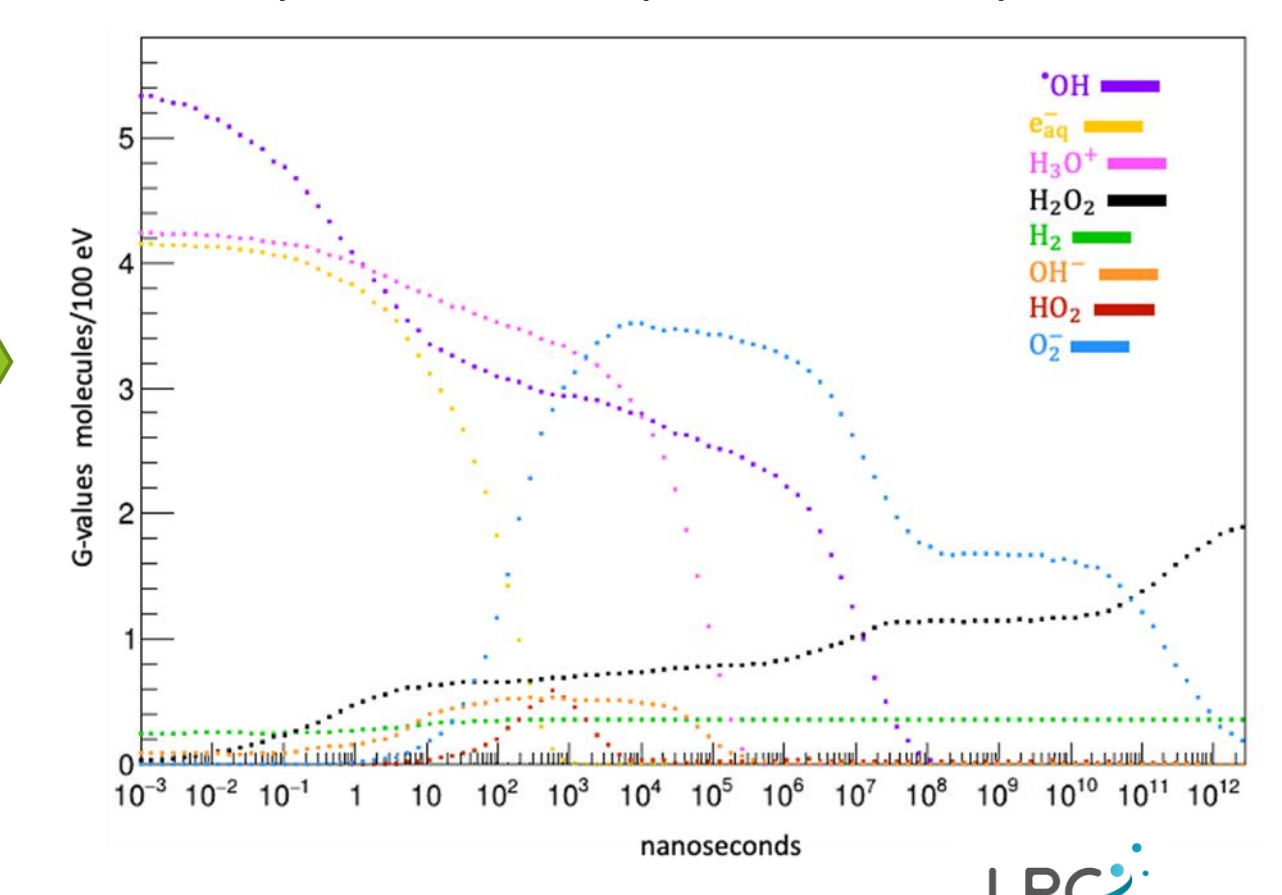
 $O_3^- + H_3O^+ \rightarrow OH + O_2 + H_2O$

 $HO_2^- + H_2O \rightarrow H_2O_2 + OH^-$

K=1.55e10		011 1 02 1 02 1 011	2.0.020
k=0.55e10		$e_{aq} + O_2^- \rightarrow H_2O_2 + OH^- + OH^-$	k=1.3e10
k=2.95e10		$e_{aq} + HO_2^- \to O^- + OH^-$	k=3.51e9
k=1.10e10		$e_{aq} + O^- \rightarrow OH^- + OH^-$	k=2.31e10
k=2.11e10		$H_3O^+ + O_2^- \to HO_2$	k=4.78e10
K-2.11010		$H_3O^+ + HO_2^- \to H_2O_2$	k=5.00e10
		$H_3O^+ + O^- \rightarrow OH$	k=4.78e10
		$e_{aa} + HO_2 \rightarrow HO_2^-$	k=1.29e10
		$OH + OH^- \rightarrow O^-$	k=6.30e9
1 2 66 2		$OH + HO_2 \rightarrow O_2$	k=7.90e9
k=2.66e3		$OH + HO_2^- \rightarrow HO_2 + OH^-$	k=8.32e9
k=7.14e5		$OH + O^- \rightarrow HO_2^-$	k=1.00e9
k=6.32e0		$OH + O_3^- \rightarrow O_2^- + HO_2$	k=8.50e9
k=1.58e1		$OH^- + HO_2 \rightarrow O_2^-$	k=5.0e10
k=0.15e0		$H_2O_2 + OH^- \to HO_2^-$	k=1.3e10
k=1.36e6		$H_2O_2 + O^- \to HO_2 + OH^-$	k=5.55e8
k=1.36e6		$H_2 + O^- \rightarrow H + OH^-$	k=1.21e8
k=2.25e10		$O_2 + O^- \rightarrow O_2 + OH^- + OH^-$	k=6.0e8
k=4.78e10		$HO_2^- + O^- \rightarrow O_2^- + OH^-$	k=3.5e8
k=1.13e11		$0^- + 0^- \rightarrow H_2O_2 + OH^- + OH^-$	k=1.0e8
k=4.78e10		$0^- + 0_3^- \rightarrow 0_2^- + 0_2^-$	k=7.0e8
k=4.78e10		$H + OH^- \rightarrow e_{aq}$	k=2.51e7
k=9.0e10		$H + H_2O_2 \rightarrow OH$	k=3.50e7
k=1.13e11		$OH + H_2O_2 \rightarrow HO_2$	k=2.88e7
k=2.49e7		$OH + H_2 \rightarrow H$	k=3.28e7
k=1.27e10		$HO_2 + HO_2 \rightarrow H_2O_2 + O_2$	k=9.80e5
k=1.27e10		$HO_2^- + O_2^- \to HO_2^- + O_2^+$	k=9.70e7
k=1.27e10		$O_2^- + O_2^- \rightarrow H_2O_2 + O_2 + 2OH^-$	k=1.00e2

 $O_2^- + O_2^- \rightarrow H_2O_2 + O_2 + 20H^-$

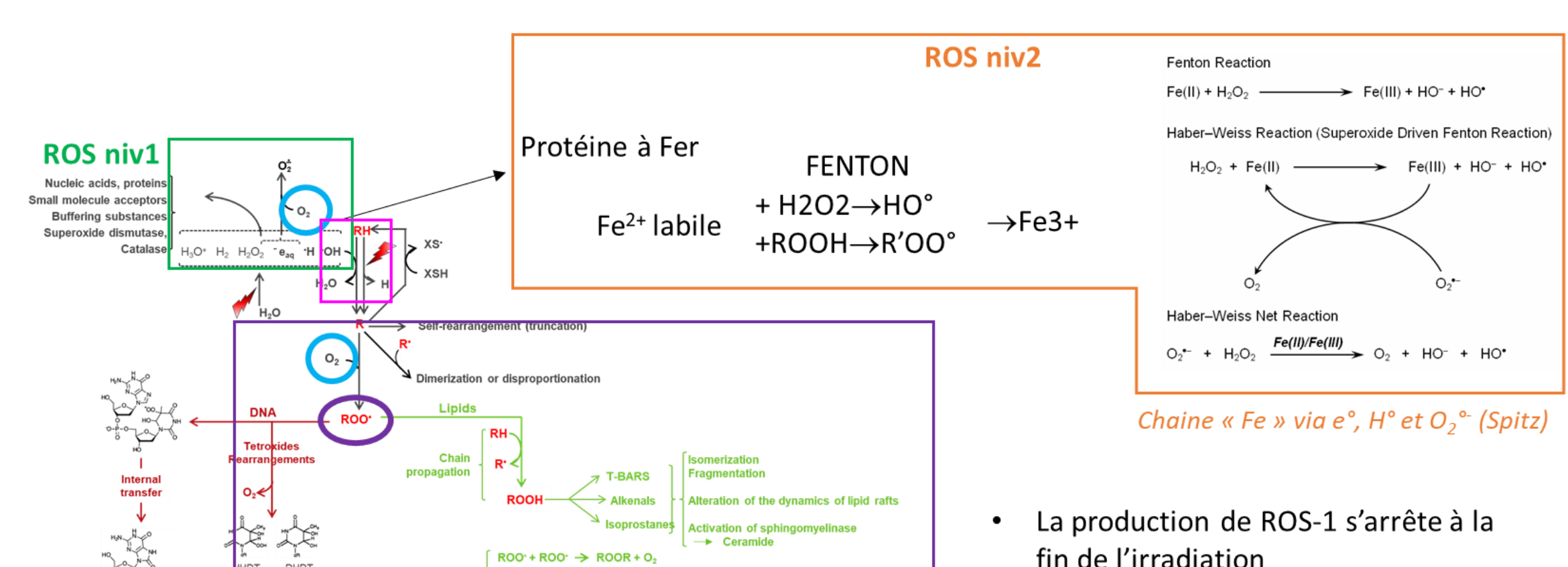
Reproduit la cinétique de vie des espèces





Travail complexe, et des données expérimentales manquent Le lien modélisateur - expérimentateur est ESSENTIEL

PROPOSITION DE MECANISME A LA CROISEE DES DISCIPLINES



Chaine ROO° via HO° (Labarbe et Favaudon)

termination

ROO'+R' → ROOR

ROO' + XSH → ROOH + XS

- La production de ROS-2 continue jusqu'à prise en charge par des SOD
 - ou des recombinaisons

Chromosome breaks - Aneuploidy - Mul

LE COUP D'APRES?

Mesure du rendement G(e°hyd) en CONV et FLASH:

Effet FLASH avec des particules plus lourdes?

Implémentation des modèles radiochimiques en cours...

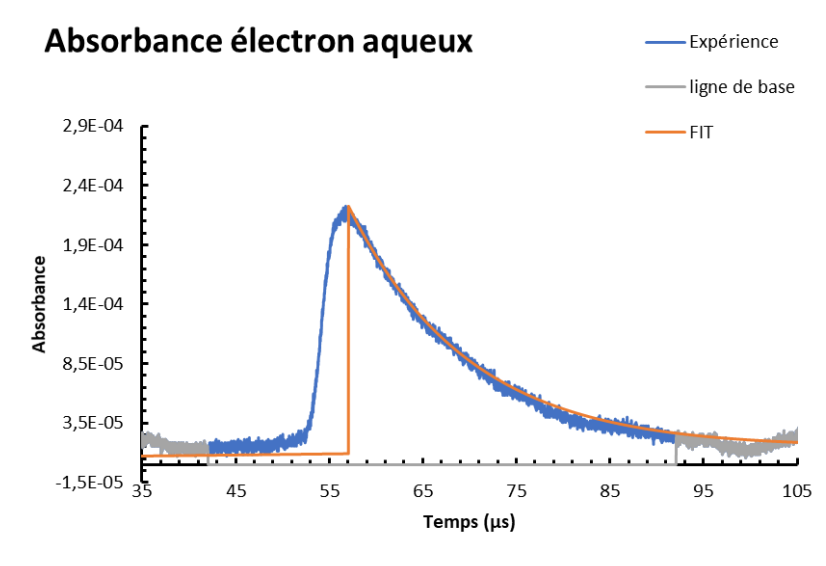
D'autres modèles biologiques, à 2 échelles :

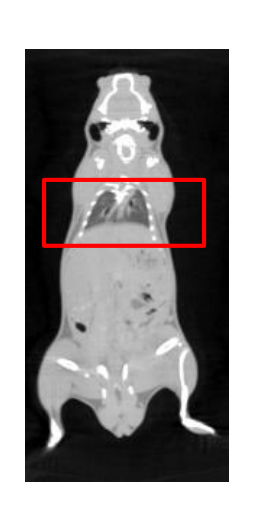
- Petit animal (souris)
- ADN

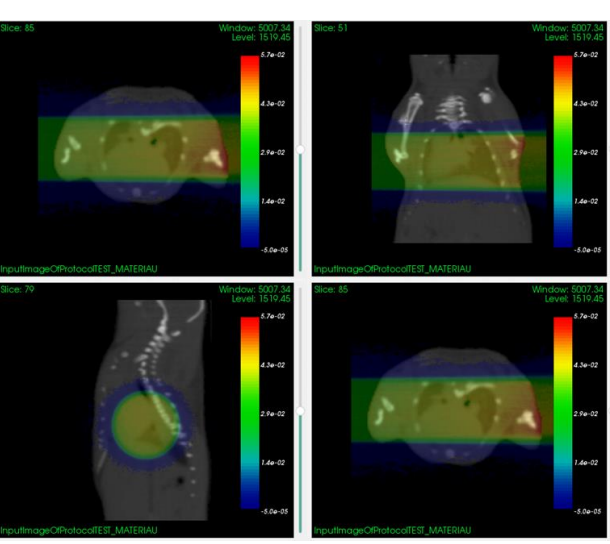
Fractionnement des doses

Modélisation de répartition de dose à des

POURQUOI? Des petits pas vers les réponses







MILLE MERCI A VOUS! Et également à :







Sophie CHIAVASSA, PhD (physique médicale) Grégory DELPON, PhD (physique médicale) Youssef GHANNAM, M2 (radiothérapie) Vincent POTIRON, PhD (radiobiologie) Gaëlle SAADE, PhD student (radiobiologie) Stéphane SUPIOT, MD, PhD (radiothérapie)



Manon EVIN, M2 (physique médicale)
Ferid HADDAD, PhD (physique nucléaire)
Charbel KOUMEIR, PhD (physique nucléaire)
Freddy POIRIER, PhD (accélérateur)



Guillaume BLAIN, IR (radiochimie)
Quentin MOUCHARD, PhD (physique nucléaire)
Vincent METIVIER, PhD (physique nucléaire)
Noël SERVAGENT, PhD (ingénierie)
Mohammad GHALEI, PhD (radiochimie)
Emeline CRAFF, PhD student (radiochimie)
Johan VANDENBORRE, PhD (radiochimie)



Lydia MAIGNE, PhD (physique médicale) Giovanna Rosa FOIS, PhD (physique appliquée)

